



## سیستم های کنترل فطی

### فصل اول: مقدمه



در این فصل با چند مثال بیولوژیکی، اجتماعی و صنعتی با سیستم کنترل، امزای آن، نمایش های فیزیکی و نمودار بلوکی و اهداف سیستم کنترل آشنا می شویم. سپس اهمیت استفاده از فیدبک و اعجاز آن در رسیدن به اهداف سه گانه همزمان را مورد بررسی قرار داده و سپس سافتار های مختلف سیستم های کنترل را مرور می کنیم. در بخش دوم این فصل نمایش های مختلف نمودار بلوکی، نمودار گذر سیگنال SFG و نمایش فضای حالت را بررسی نموده با مثال های متنوع روش ساده سازی دستی و با استفاده از ابزارهای کامپیوتری را بررسی خواهیم نمود.



# به چشم انداز

کسب مهارت های لازم  
در تحلیل و طراحی سیستم های کنترل خطی  
خوش آمدید



## در باره گروه رباتیک ارس

گروه رباتیک ارس از ۱۳۷۶ و با بیش از ۲۴ سال تجربه، خدمات خود را در گسترش آموزش مهندسی و پژوهش در لبه های دانش را در زمینه تحلیل و طراحی سیستم های دینامیکی در کاربرد رباتیک ارائه می دهد. گروه رباتیک ارس به خوبی توسط کارشناسان صنعتی، پژوهشگران و شخصیت های علمی دانش آموخته خود و همچنین با سوابق فراوان موفق پروژه های تحقیق و توسعه خود در سراسر کشور و در جوامع علمی بین المللی شناخته می شود. مهمترین پشتوانه این گروه ظرفیت نیروی انسانی وسیع گروه است که تمام سعی و اهتمام خود را به گسترش دانش و فناوری معطوف نموده اند. یکی از مهمترین اهداف گروه استفاده از این پتانسیل ها به منظور گسترش ارتباطات آکادمیک و صنعتی در سطح ملی و بین المللی است. ماموریت گروه رباتیک ارس توسعه پهنه دانش و تعمیق کیفیت آموزش و پژوهش در یک محیط پویا و شاداب است.



## پیشگفتار

۱ سیستم کنترل چیست، اجزای سیستم کنترل، نمایش فیزیکی و نمودار بلوکی سیستم کنترل، اهداف سیستم کنترل

## اعجاز فیدبک

۲ مقایسه سیستم حلقه باز و حلقه بسته، بررسی همزمان اهداف تنظیم یا ردیابی، رفع اثر اغتشاش و عدم حساسیت به شناخت دقیق سیستم

## سافتار های مختلف سیستم کنترل

۳ سیستم حلقه باز، سیستم حلقه بسته، سیستم حلقه بسته با کنترلگر پیش خور، سیستم حلقه بسته با دو کنترلگر آبخاری، سیستم حلقه بسته آبخاری با دو خروجی، سیستم حلقه بسته با فیدبک حالت

## نمایش مدل در سیستم های کنترل

۴ معادلات دیفرانسیل خطی غیر متغیر با زمان LTI، مروری بر تبدیل لاپلاس، ویژگی های تبدیل لاپلاس، استفاده از تبدیل لاپلاس در نمایش سیستم های کنترل خطی، تعیین پاسخ کامل سیستم با تبدیل لاپلاس

## نمایش نمودار بلوکی

۵ اجزای نمودار بلوکی، اتصالات نمودار بلوکی، ساده سازی نمودار بلوکی مثال های ساده سازی

## نمودار گذر سیگنال SFG

۶ نماد ها و اجزای SFG، قانون بهره Mason در حالت کلی و در حالت خاص، مثال های ساده سازی، مدل سازی موتور DC مغناطیس دائم، نمایش فضای حالت

در این فصل با چندین مثال بیولوژیکی، اجتماعی و صنعتی با سیستم کنترل، اجزای آن، نمایش های فیزیکی و نمودار بلوکی و اهداف سیستم کنترل آشنا می شویم. سپس اهمیت استفاده از فیدبک و اعجاز آن در رسیدن به اهداف سه گانه همزمان را مورد بررسی قرار داده و سپس سافتار های مختلف سیستم های کنترل را مرور می کنیم. در بخش دوم این فصل نمایش های مختلف نمودار بلوکی، نمودار گذر سیگنال SFG و نمایش فضای حالت را بررسی نموده با مثال های متنوع روش ساده سازی دستی و با استفاده از ابزارهای کامپیوتری را بررسی خواهیم نمود.



# سیستم کنترل چیست؟

## • شگفت انگیز ترین سیستم کنترل: انسان

✓ دودین

□ بهینه سازی زمان در دوی ۱۰۰ متر

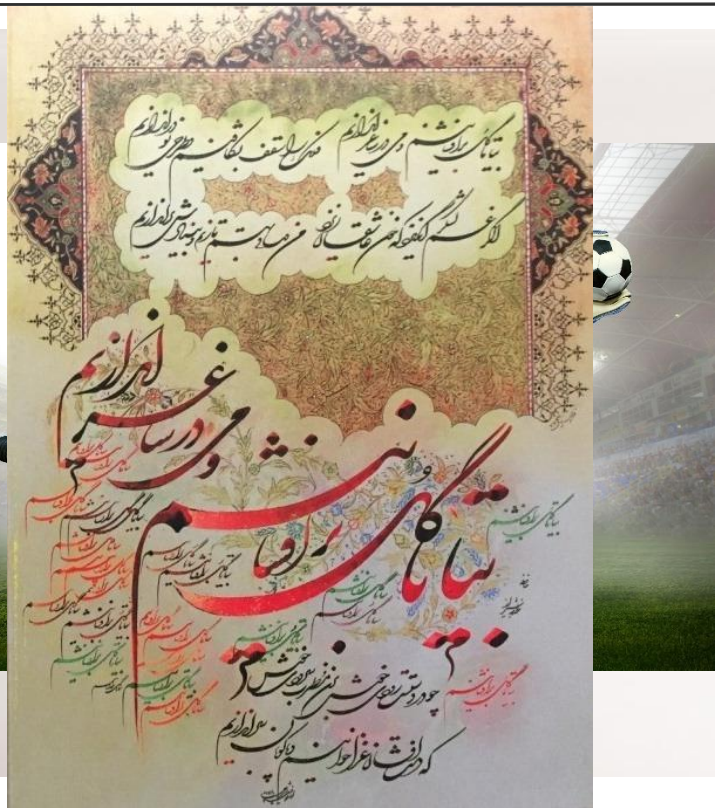
□ بهینه سازی مصرف انرژی در دوی ماراتون

✓ حرکات دست

□ کنترل همزمان دست و چشم در گرفتن اجسام متحرک

□ مهار توپ توسط دروازه بان

□ خوشنویسی

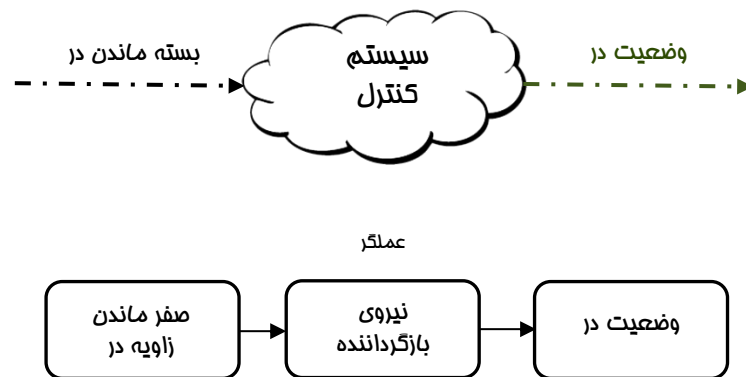


# سیستم کنترل چیست؟

## • نمونه ای ساده

✓ بسته نگهداشتن در (هدف تنظیم)

✓ سیستم حلقه باز



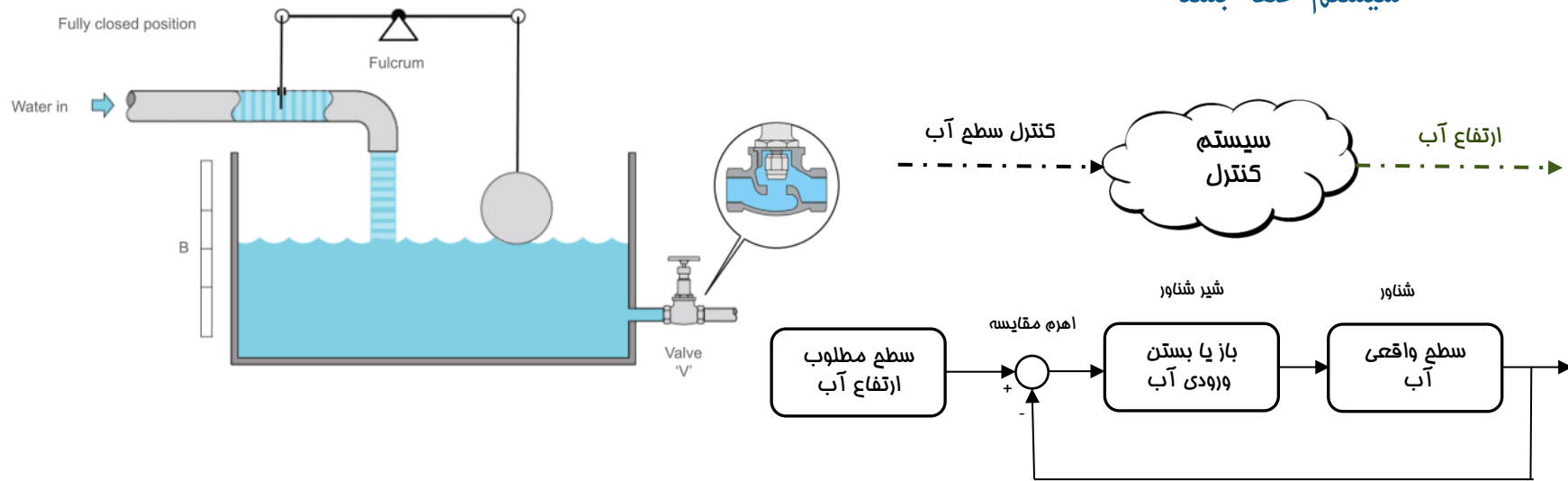
برگرفته از این پیوند

# سیستم کنترل چیست؟

## • نمونه ای ساده

✓ کنترل اتوماتیک سطح آب در یک مخزن یا کولر آبی

✓ سیستم حلقه بسته



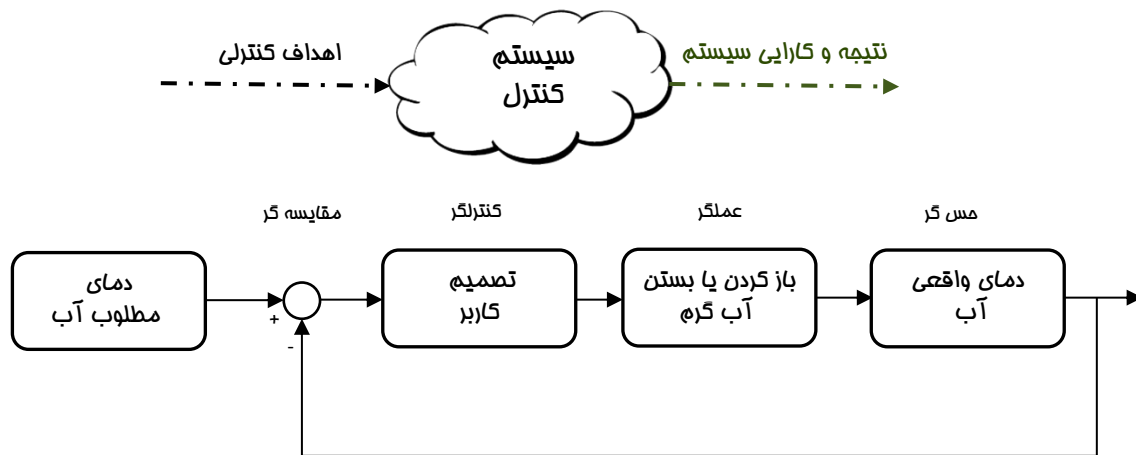
برگرفته از این پیوند

# سیستم کنترل چیست؟

## • نمونه ای ساده

✓ کنترل دمای شیر آب سرد و گرم (هدف تنظیم دما)

✓ سیستم حلقه بسته



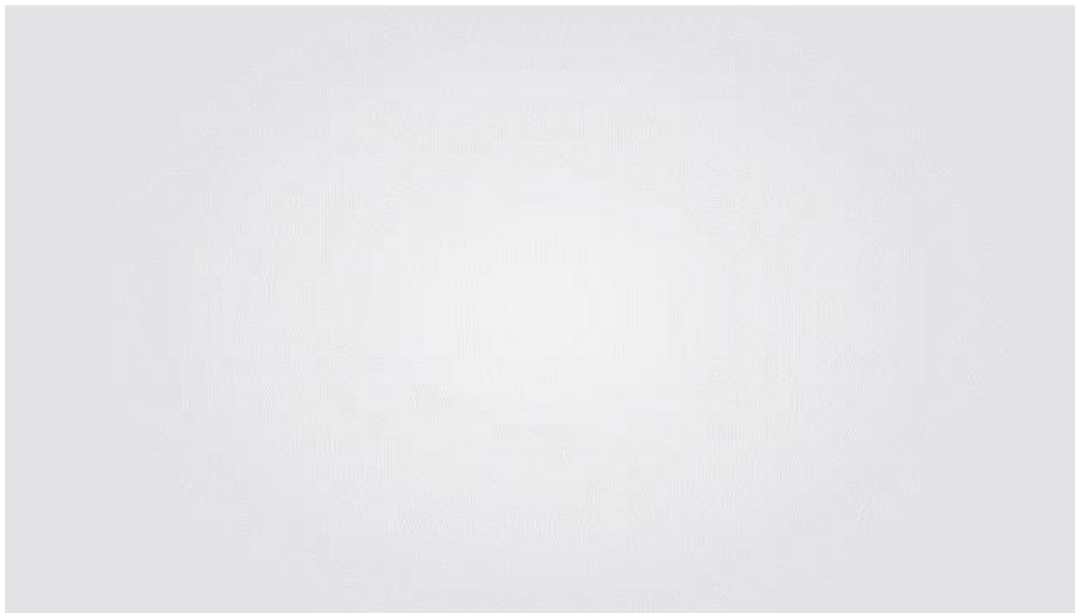
برگرفته از این پیوند



## سیستم کنترل چیست؟

- نمونه ای شگفت انگیز

✓ کنترل دمای بدن انسان (هدف تنظیم دما)

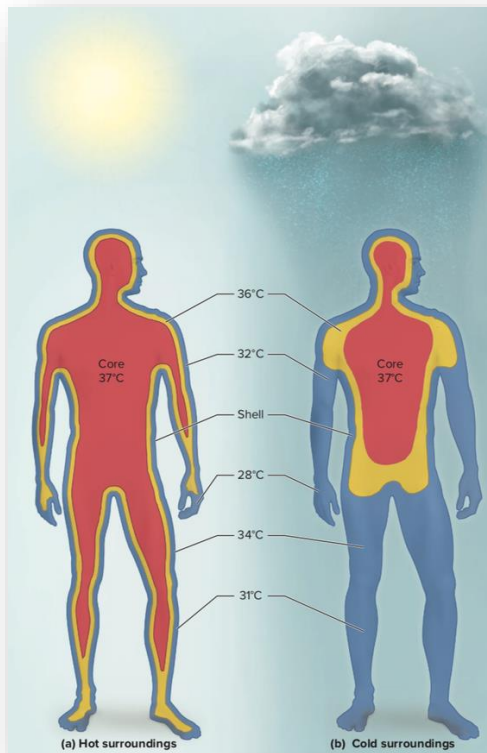


[برگرفته از این پیوند](#)

# سیستم کنترل چیست؟

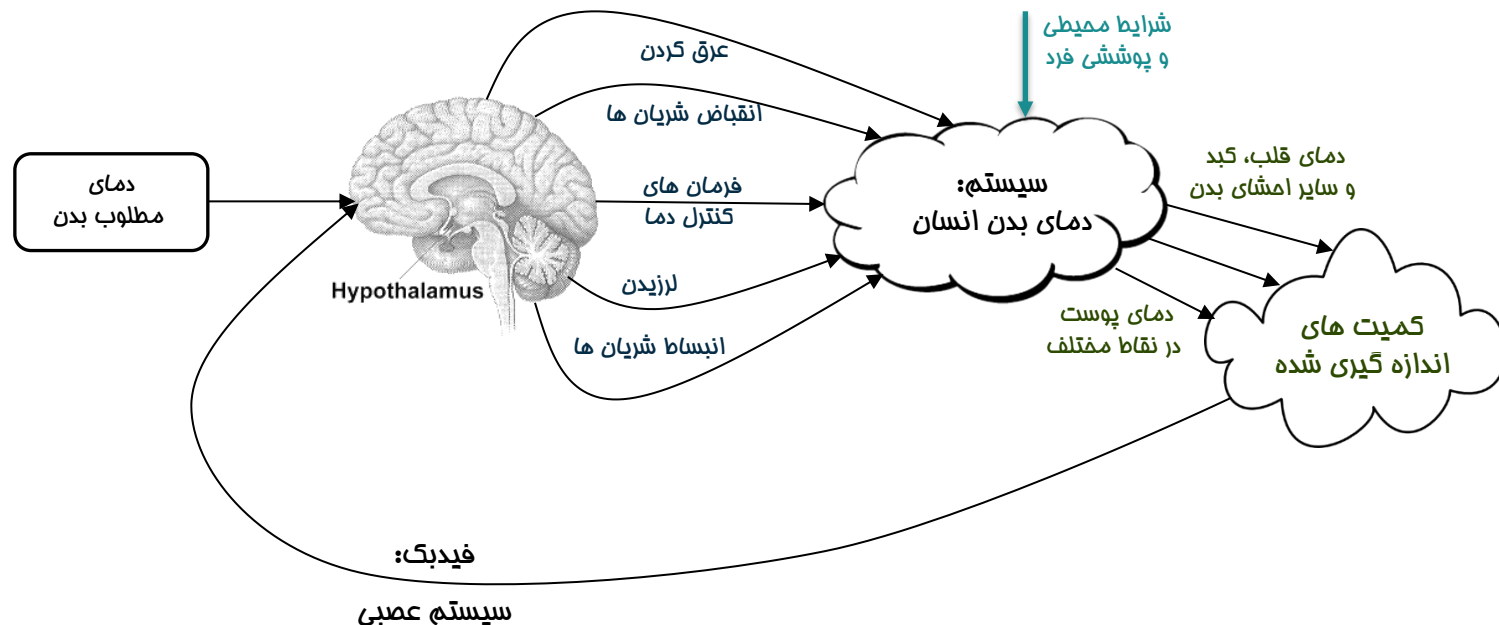
## اجزای این سیستم کنترل

- ✓ سیستم و اهمیت کنترل یک یا چند کمیت آن
  - انسان خونگرم، زنده ماندن سلول های بدن در دمای ۳۰ تا ۴۰ درجه
- ✓ حسگرهای کمیت مورد نظر
  - پوست بدن، حسگرهای اجزای بدن (قلب، کبد، احشاء داخلی و ...)
- ✓ فیدبک
  - سیستم عصبی بدن
- ✓ مرکز دریافت اطلاعات، تصمیم گیری و ارسال فرمان کنترلی
  - بخش های هیپوتالاموس hypothalamus مغز
- ✓ عملگرهای گرمایش یا سرمایش بدن
  - انتقال حرارت در پوست در اثر عرق کردن (اثر فوق العاده موی بدن)
  - انقباض و انبساط رگ ها
  - لرزیدن، حرکت بدن و ماهیچه ها و ...
  - توزیع گرمایش یا سرمایش در بخش مهم بدن (قلب و مغز)



برگرفته از این پیوند

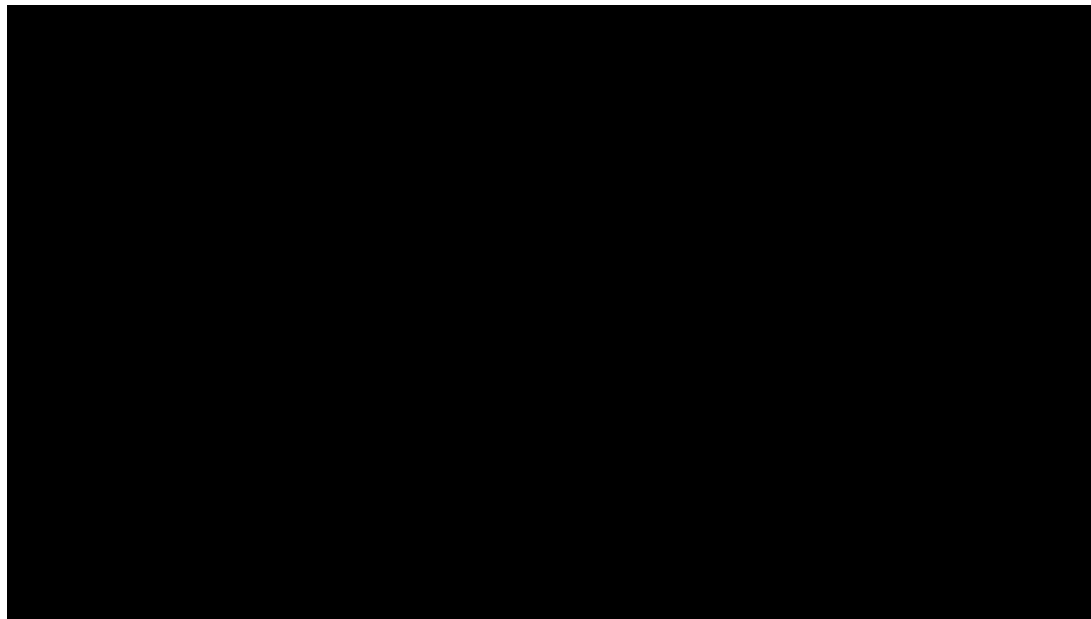
## • نمودار فیزیکی اجزای این سیستم کنترل





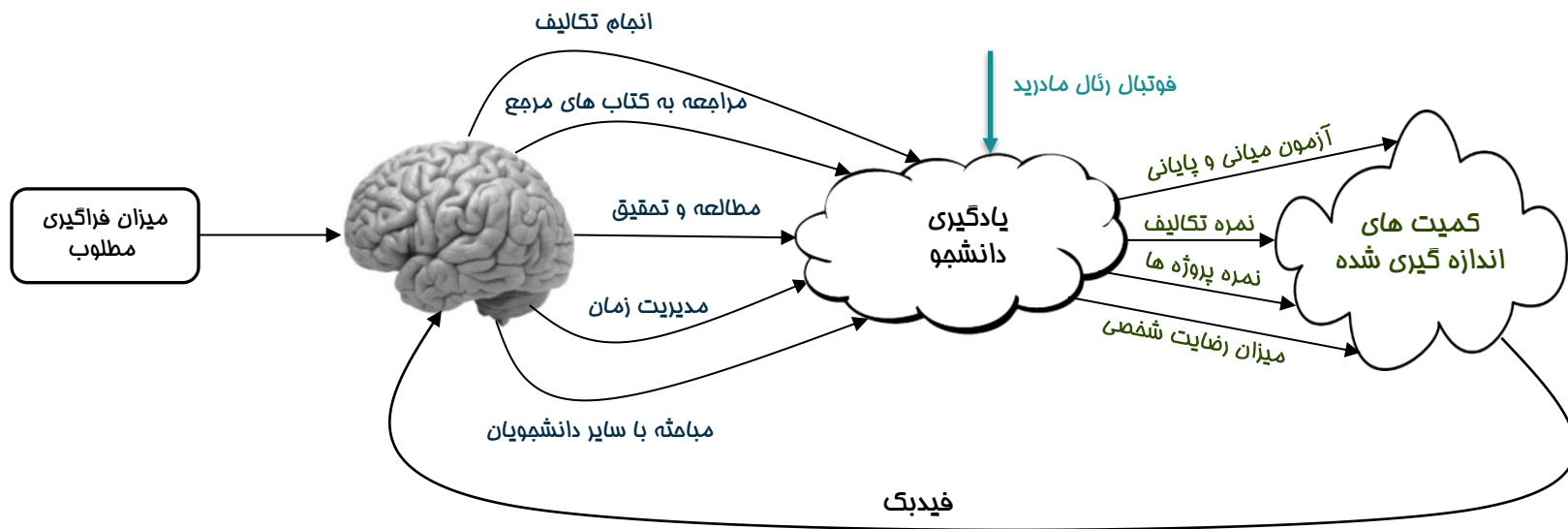
## • نمونه شگفت انگیز دیگر: مرغ زرین پر (Hummingbird)

✓ ثابت ماندن در هوا (با حضور اغتشاش)



[برگرفته از این پیوند](#)

## • نمونه ای دیگر: فرایند یادگیری در دانشجویان





## • سیستم یا فرایند

✓ ذات سیستم با ویژگی ها و دینامیک مخصوص خود

□ سیستم واقعی

□ مدل سیستم برای پیش بینی رفتار سیستم

✓ تبیین وضعیت مطلوب

• کنترلگر: بخش انگیزه بخش، ملامت گر، مقایسه گر، اراده و تصمیم گیر

• مسگرها: بخش اندازه گیر کمیت های مهم سیستم

• عملگرها: بخش اجرای فرامین کنترل کننده

• اغتشاش خارجی: فوتبال رئال مادرید!

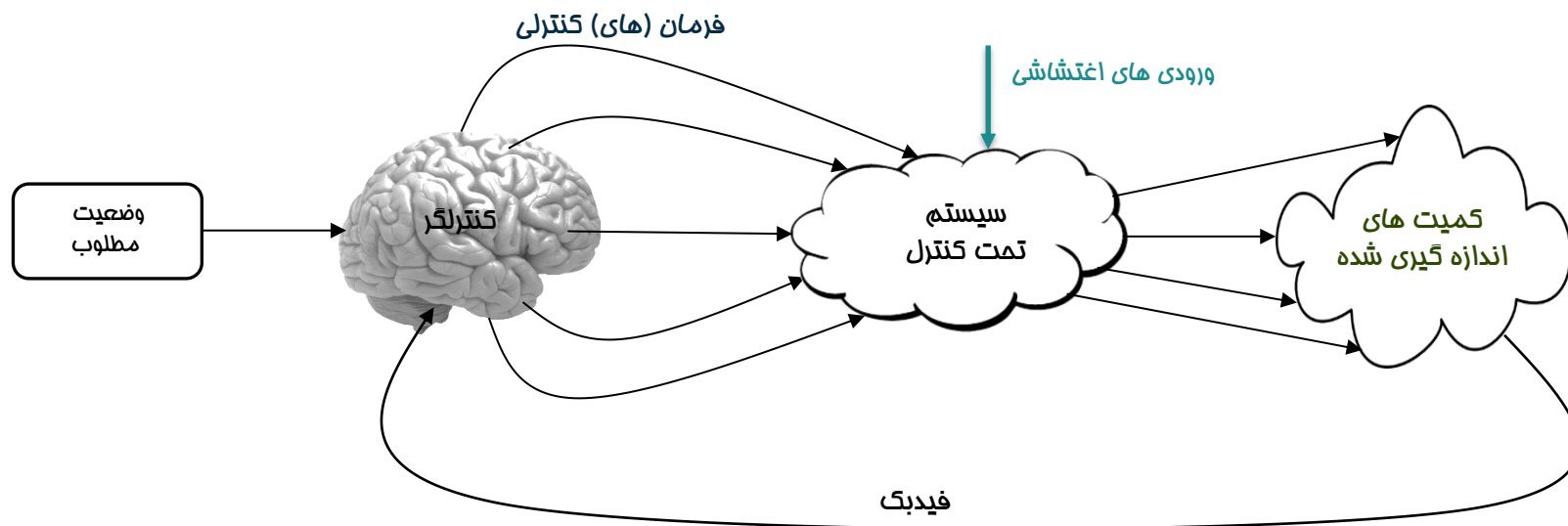
• فیدبک: مهمترین عامل موفقیت یک سیستم کنترل

✓ پایش آنی و همیشگی وضعیت



## • نمایش سیستم یا فرایند

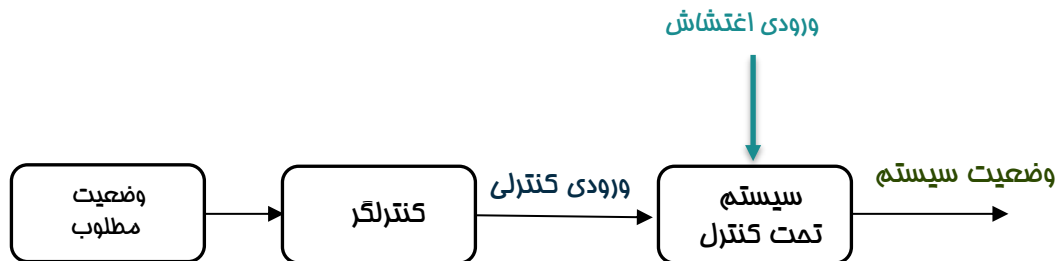
✓ نمایش فیزیکی



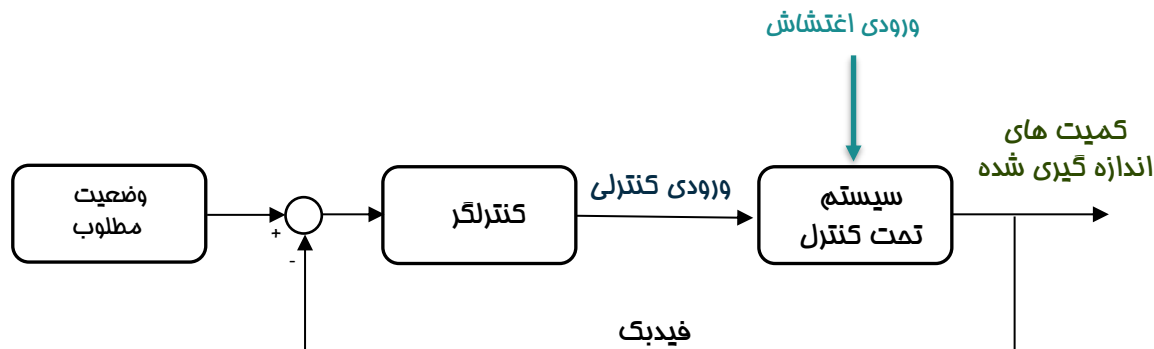
## • نمایش سیستم یا فرایند

✓ نمودار بلوکی

□ سیستم حلقه باز



□ سیستم حلقه بسته



# اهداف سیستم های کنترل

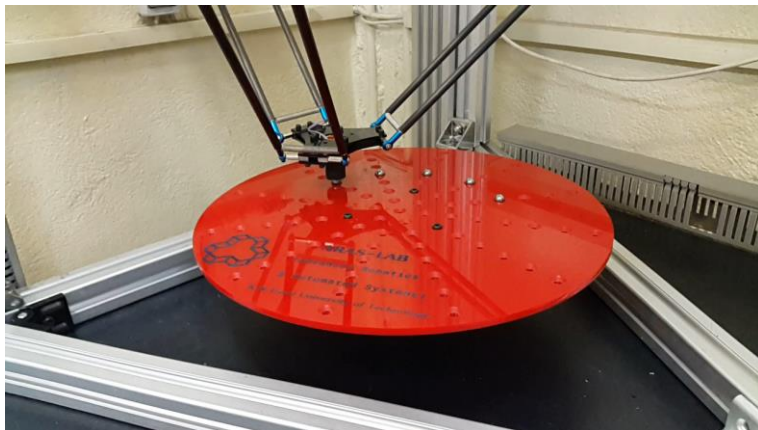
## • رسیدن به مقدار مطلوب

✓ تنظیم (Regulation): مقدار مطلوب ثابت  $r = cte$

- کنترل دمای بدن (۳۷ درجه سانتی گراد)
- رسیدن به سطح یادگیری مناسب (نمره ۲۰)
- ثابت ماندن منقار مرغ زرین پر (ارتفاع و جهت گیری ثابت)
- کنترل ضخامت کاغذ در فرایند تولید کاغذ
- ثابت نگهداشتن فرکانس برق شهر (۵۰ یا ۶۰ هرتز) و ...

✓ ردیابی (Tracking): مقدار مطلوب متغیر  $r = r(t)$

- گرفتن پنالتی توسط دروازه بان
- ردیابی موشک ضد هواپیما
- پرواز خودران کوادکوپتر
- برداشت قطعات از تسمه نقاله متحرک توسط ربات



ربات [دلتا](#) معمول گروه رباتیک ارس

# اهداف سیستم های کنترل

## • رفع اثر اغتشاش در تنظیم یا ردیابی

✓ کاهش اثر اغتشاش در رسیدن به مقدار مطلوب

□ کنترل دمای بدن در سرما یا گرمای شدید محیطی

□ رسیدن به سطح یادگیری مناسب حتی در زمان جام جهانی فوتبال!

□ ثابت ماندن منقار مرغ زرین پر در حضور باد شدید

□ سیستم تعلیق فعال خودرو: تراش الماس در خودروی متحرک

## • قوام: عدم حساسیت به شناخت دقیق سیستم

✓ هیچگاه رفتار سیستم را نمی توان دقیقاً شناخت و ارزیابی کرد

□ کنترل دمای بدن حتی در سن بالا

□ رسیدن به سطح یادگیری مناسب برای خلاق ها یا پرکارها

□ کنترل سیستم های پیچیده

□ کنترل سیستم های ابعاد وسیع





## • تنظیم و ردیابی با وجود محدودیت در عملگرها

✓ به جز خداوند متعال همه چیز و همگان محدودیت دارند

- کنترل دمای بدن با وجود انقباض یا انقباض محدود در شریان ها
- رسیدن به سطح یادگیری مناسب با وجود زمان محدود
- ثابت ماندن منقار مرغ زرین پر با وجود محدودیت سرعت بال زدن پرنده
- دقت و سرعت ربات با وجود ولتاژ و جریان محدود موتورها

## • رفع اثر نویز مسگر ها در تنظیم یا ردیابی

✓ فیدبک به دریافت اطلاعات و مشاهده محیط بسیار وابسته است

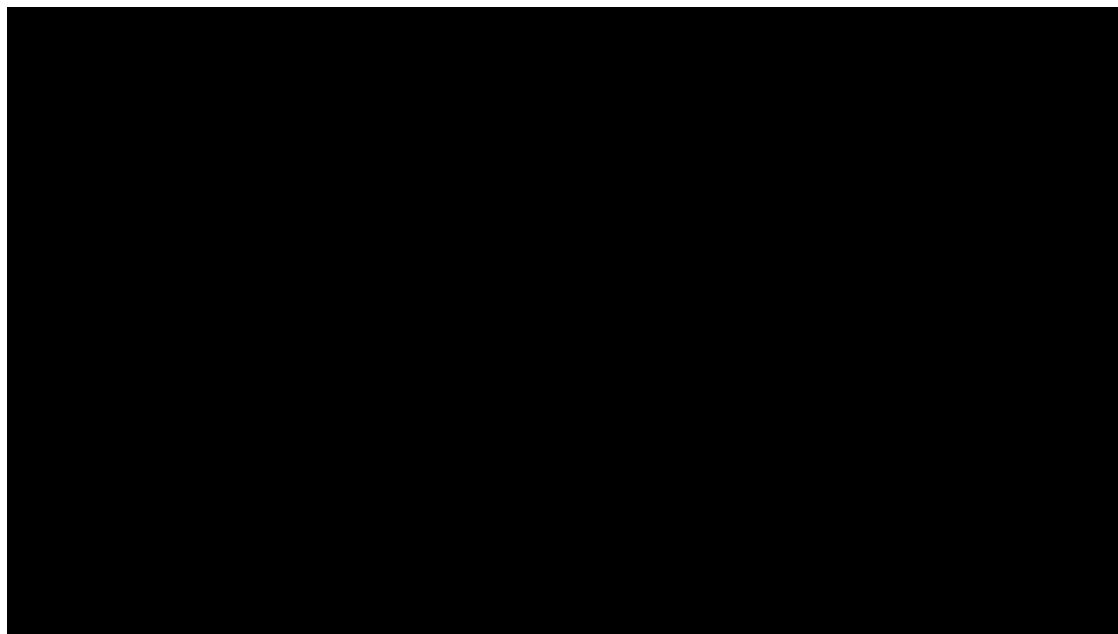
- کنترل ضخامت کاغذ با وجود عدم دقت در اندازه گیری ضخامت
- چگونگی پاس شدن درس های بدون تمرین و پروژه!
- چگونگی اندازه گیری جهت گیری سر مرغ زرین پر (اسلاید بعد!)





- پایدار سازی شگفت انگیز سر مرغ

✓ استفاده از آن در تصویربرداری ورزشی!



برگرفته از این پیوند



## • پایدارسازی

✓ پایدار کردن سیستم های ذاتا ناپایدار

□ تنها توسط سیستم کنترلی مغز است که انسان راست قامت می تواند بایستد.

□ راه رفتن روی طناب





## پیشگفتار

۱ سیستم کنترل چیست، اجزای سیستم کنترل، نمایش فیزیکی و نمودار بلوکی سیستم کنترل، اهداف سیستم کنترل

## اعجاز فیدبک

۲ مقایسه سیستم حلقه باز و حلقه بسته، بررسی همزمان اهداف تنظیم یا ردیابی، رفع اثر اغتشاش و عدم حساسیت به شناخت دقیق سیستم

## سافتارهای مختلف سیستم کنترل

۳ سیستم حلقه باز، سیستم حلقه بسته، سیستم حلقه بسته با کنترلگر پیش خور، سیستم حلقه بسته با دو کنترلگر آبخاری، سیستم حلقه بسته آبخاری با دو خروجی، سیستم حلقه بسته با فیدبک حالت

## نمایش مدل در سیستم های کنترل

۴ معادلات دیفرانسیل خطی غیر متغیر با زمان LTI، مروری بر تبدیل لاپلاس، ویژگی های تبدیل لاپلاس، استفاده از تبدیل لاپلاس در نمایش سیستم های کنترل خطی، تعیین پاسخ کامل سیستم با تبدیل لاپلاس

## نمایش نمودار بلوکی

۵ اجزای نمودار بلوکی، اتصالات نمودار بلوکی، ساده سازی نمودار بلوکی مثال های ساده سازی

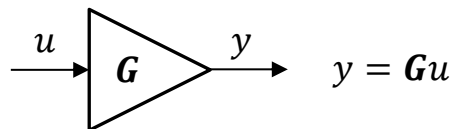
## نمودار گذر سیگنال SFG

۶ نماد ها و اجزای SFG، قانون بهره Mason در حالت کلی و در حالت خاص، مثال های ساده سازی، مدل سازی موتور DC مغناطیس دائم، نمایش فضای حالت

در این فصل با چندین مثال بیولوژیکی، اجتماعی و صنعتی با سیستم کنترل، اجزای آن، نمایش های فیزیکی و نمودار بلوکی و اهداف سیستم کنترل آشنا می شویم. سپس اهمیت استفاده از فیدبک و اعجاز آن در رسیدن به اهداف سه گانه همزمان را مورد بررسی قرار داده و سپس سافتارهای مختلف سیستم های کنترل را مرور می کنیم. در بخش دوم این فصل نمایش های مختلف نمودار بلوکی، نمودار گذر سیگنال SFG و نمایش فضای حالت را بررسی نموده با مثال های متنوع روش ساده سازی دستی و با استفاده از ابزارهای کامپیوتری را بررسی خواهیم نمود.



## • مقایسه سیستم حلقه باز و حلقه بسته



✓ سیستم ساده با بهره ثابت

سیستم حلقه باز	سیستم حلقه بسته
$y = Pu, \quad u = Cr, \quad y = CPr$	$e = r - y, \quad y = CPe = CP(r - y)$ $y(1 + CP) = CPr \rightarrow y = \frac{CP}{1 + CP} r$

✓ بسته به نوع سیستم بهره سیستم  $P$  متفاوت است و هدف طراحی بهره کنترل کننده  $C$  است.

## • هدف اول تنظیم یا ردیابی $y \approx r$

سیستم حلقه باز	سیستم حلقه بسته
<p>برای تنظیم یا ردیابی <math>y \approx r</math> بایستی</p> $y = CP r \rightarrow CP = 1$ <p>در نتیجه اگر سیستم دارای بهره <math>P</math> باشد کنترل کننده بایستی دارای بهره وارون آن باشد:</p> $C = 1/P$ <p>– بهره کنترل کننده بایستی متناسب با سیستم انتخاب شود</p>	<p>برای تنظیم یا ردیابی <math>y \approx r</math> بایستی</p> $y = \frac{CP}{1 + CP} r \rightarrow \frac{CP}{1 + CP} = 1$ <p>در نتیجه فارغ از اینکه بهره سیستم <math>P</math> چه میزان باشد، کنترل کننده بایستی دارای بهره زیاد باشد:</p> $CP \gg 1 \rightarrow C \gg 1$ <p>– محدودیت عملگرها مانع ازدیاد بیش از حد بهره کنترلگر خواهد شد.</p>



- هدف دوم رفع اثر اغتشاش در تنظیم یا ردیابی  $y \approx r$  با مضمور  $d$

سیستم حلقه باز	سیستم حلقه بسته
$y = d + Pu, \quad u = Cr, \quad y = d + CPr$	$e = r - y, \quad y = d + CPe = d + CP(r - y)$ $y(1 + CP) = d + CPr \rightarrow y = \frac{CP}{1 + CP} r + \frac{1}{1 + CP} d$
<p>در این ساختار کنترلی رفع اغتشاش امکان پذیر نیست و اغتشاش به صورت کامل در خروجی دیده می شود.</p>	<p>با طراحی کنترل کننده با بهره زیاد <math>CP \gg 1</math> هم ردیابی صورت می گیرد <math>\frac{CP}{1 + CP} \approx 1</math> و هم رفع اغتشاش <math>\frac{1}{1 + CP} \approx 0</math></p>



## • هدف سوم قوام: عدم حساسیت به شناخت دقیق سیستم

✓ تعریف ریاضی حساسیت نرمالیزه شده: رفتار خروجی سیستم  $M = \frac{y}{r}$  به شناخت مدل  $P$

$$S_P^M = \frac{\partial M/M}{\partial P/P} = \frac{\partial M}{\partial P} \cdot \frac{P}{M}$$

### سیستم حلقه بسته

$$M = \frac{CP}{1+CP}$$

در این ساختار

$$\begin{aligned} S_P^M &= \frac{\partial M}{\partial P} \cdot \frac{P}{M} \\ &= \frac{C \cdot (1+CP) - C \cdot CP}{(1+CP)^2} \cdot \frac{P \cdot (1+CP)}{CP} = \frac{1}{1+CP} \end{aligned}$$

در نتیجه

بدین ترتیب با کنترلگر بهره بالا  $CP \gg 1$  حساسیت رفتار خروجی به مدل نزدیک صفر می شود!

### سیستم حلقه باز

$$M = CP$$

در این ساختار

$$S_P^M = \frac{\partial M}{\partial P} \cdot \frac{P}{M} = C \cdot \frac{P}{CP} = 1$$

در نتیجه

بدین ترتیب با هر کنترلگری ۱۰۰٪ حساسیت به مدل وجود دارد!





## • دستیابی به سه هدف همزمان تنها با استفاده از فیدبک



✓ تنظیم یا ردیابی

✓ در حضور اغتشاش

✓ و مقاوم در برابر عدم شناخت دقیق مدل

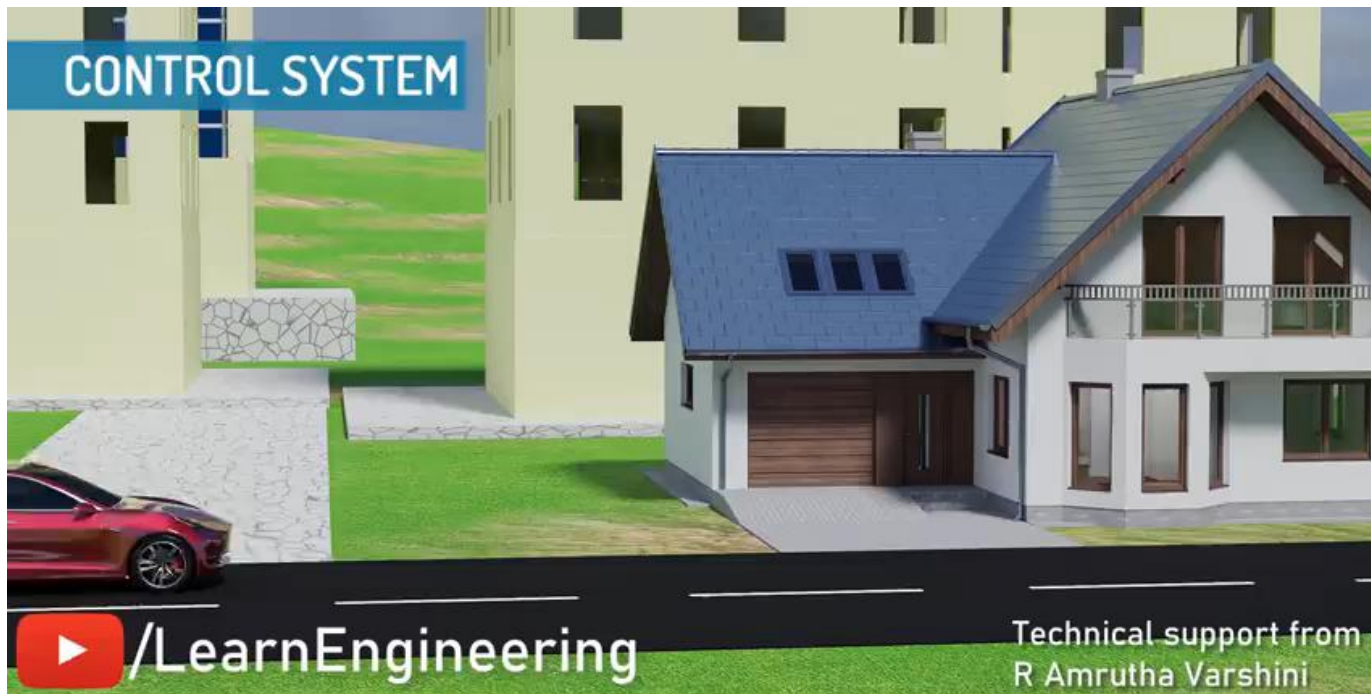
□ در طول درس در خصوص اهمیت استفاده

از فیدبک در پایداری سیستم حلقه بسته و همچنین

با حضور محدودیت های عملگر ها و نویز اندازه گیری

گفتگو خواهیم کرد ...

## • پرواز خودکار پهپاد (پرنده هدایت‌پذیر از دور)



برگرفته از این پیوند

October 6, 2024

دانشگاه صنعتی فواجه نصیرالدین طوسی  
دانشکده مهندسی برق، دپارتمان کنترل و سیستم، گروه رباتیک ارس

سیستم‌های کنترل فطی  
دکتر ممید رضا تقی راد



## پیشگفتار

۱ سیستم کنترل چیست، اجزای سیستم کنترل، نمایش فیزیکی و نمودار بلوکی سیستم کنترل، اهداف سیستم کنترل

## اعجاز فیدبک

۲ مقایسه سیستم حلقه باز و حلقه بسته، بررسی همزمان اهداف تنظیم یا ردیابی، رفع اثر اغتشاش و عدم حساسیت به شناخت دقیق سیستم

## سافتار های مختلف سیستم کنترل

۳ سیستم حلقه باز، سیستم حلقه بسته، سیستم حلقه بسته با کنترلگر پیش خور، سیستم حلقه بسته با دو کنترلگر آبخاری، سیستم حلقه بسته آبخاری با دو خروجی، سیستم حلقه بسته با فیدبک حالت

## نمایش مدل در سیستم های کنترل

۴ معادلات دیفرانسیل خطی غیر متغیر با زمان LTI، مروری بر تبدیل لاپلاس، ویژگی های تبدیل لاپلاس، استفاده از تبدیل لاپلاس در نمایش سیستم های کنترل خطی، تعیین پاسخ کامل سیستم با تبدیل لاپلاس

## نمایش نمودار بلوکی

۵ اجزای نمودار بلوکی، اتصالات نمودار بلوکی، ساده سازی نمودار بلوکی مثال های ساده سازی

## نمودار گذر سیگنال SFG

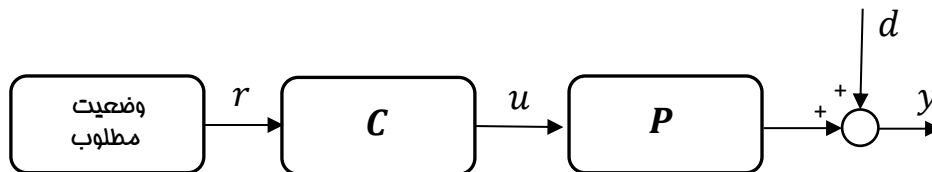
۶ نماد ها و اجزای SFG، قانون بهره Mason در حالت کلی و در حالت خاص، مثال های ساده سازی، مدل سازی موتور DC مغناطیس دائم، نمایش فضای حالت

در این فصل با چندین مثال بیولوژیکی، اجتماعی و صنعتی با سیستم کنترل، اجزای آن، نمایش های فیزیکی و نمودار بلوکی و اهداف سیستم کنترل آشنا می شویم. سپس اهمیت استفاده از فیدبک و اعجاز آن در رسیدن به اهداف سه گانه همزمان را مورد بررسی قرار داده و سپس سافتار های مختلف سیستم های کنترل را مرور می کنیم. در بخش دوم این فصل نمایش های مختلف نمودار بلوکی، نمودار گذر سیگنال SFG و نمایش فضای حالت را بررسی نموده با مثال های متنوع روش ساده سازی دستی و با استفاده از ابزارهای کامپیوتری را بررسی خواهیم نمود.

# ساختارهای مختلف سیستم کنترل

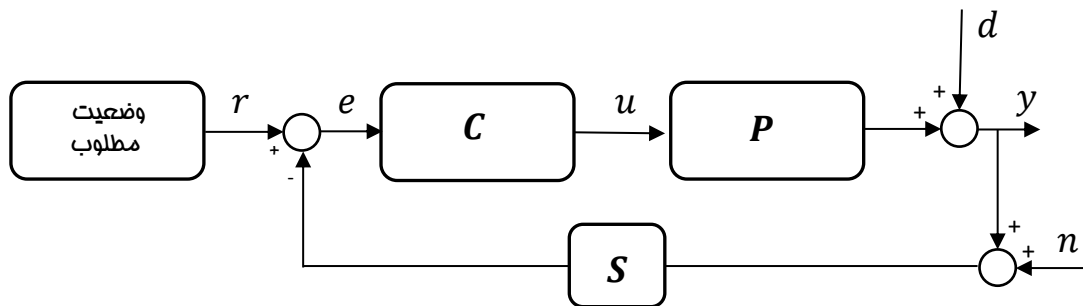
## سیستم حلقه باز

✓ با اغتشاش  $d$  در خروجی



## سیستم حلقه بسته

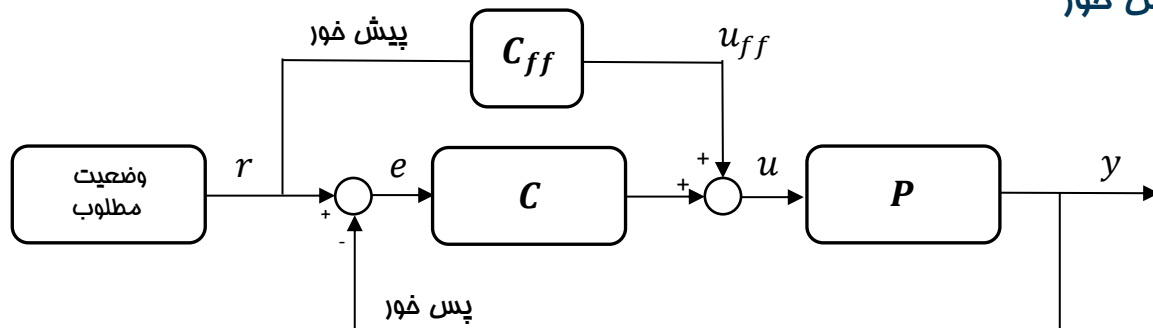
✓ با حضور حسگر  $S$  و نویز اندازه گیری  $n$  و اغتشاش  $d$  در خروجی



# ساختارهای مختلف سیستم کنترل

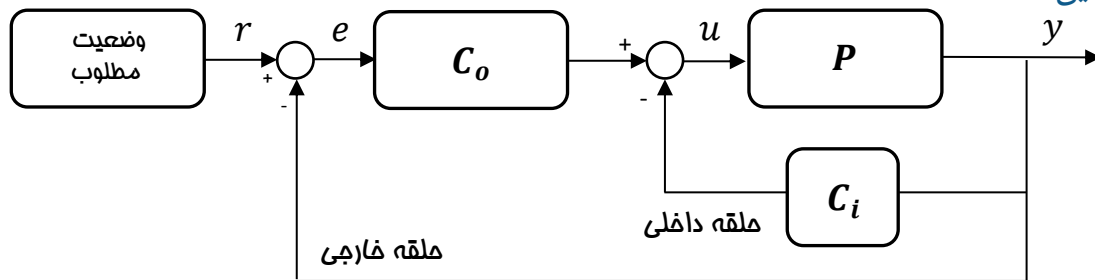
## سیستم ملقه بسته با کنترلگر پیش خور

✓ دو کنترلگر (رفع اغتشاش معین)



## سیستم ملقه بسته با دو کنترلگر آبهاری

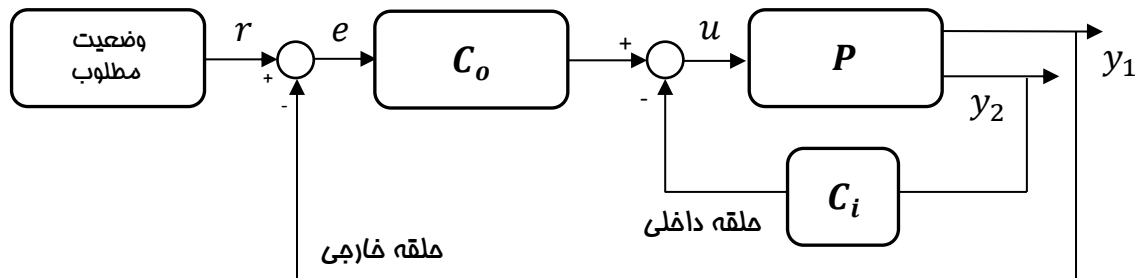
✓ کاهش حساسیت و رفع اغتشاش نامعین



# ساختارهای مختلف سیستم کنترل

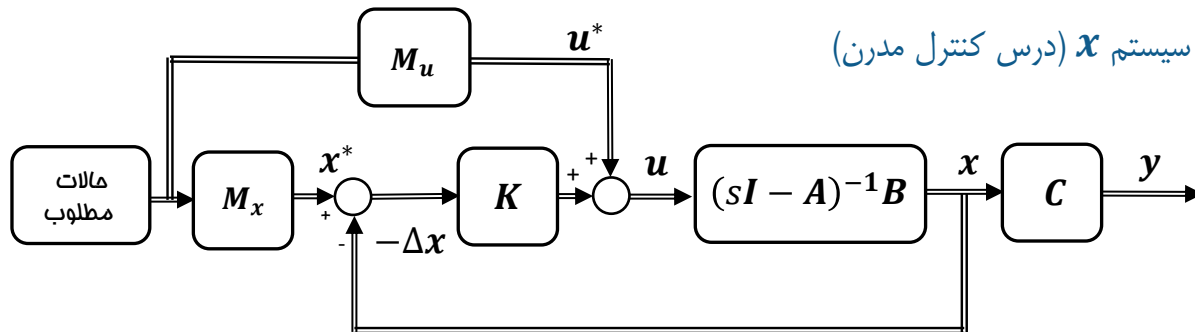
## سیستم حلقه بسته آبهشاری با دو خروجی

✓ کنترل دو هدفه



## سیستم حلقه بسته با فیدبک حالت $K$

✓ استفاده از بردار متغیر حالت سیستم  $x$  (درس کنترل مدرن)



برگرفته از کتاب [کنترل مدرن](#) ص ۳۲۸





## پیشگفتار

۱ سیستم کنترل چیست، اجزای سیستم کنترل، نمایش فیزیکی و نمودار بلوکی سیستم کنترل، اهداف سیستم کنترل

## اعجاز فیدبک

۲ مقایسه سیستم حلقه باز و حلقه بسته، بررسی همزمان اهداف تنظیم یا ردیابی، رفع اثر اغتشاش و عدم حساسیت به شناخت دقیق سیستم

## سافتار های مختلف سیستم کنترل

۳ سیستم حلقه باز، سیستم حلقه بسته، سیستم حلقه بسته با کنترلگر پیش خور، سیستم حلقه بسته با دو کنترلگر آبخاری، سیستم حلقه بسته آبخاری با دو خروجی، سیستم حلقه بسته با فیدبک حالت

## نمایش مدل در سیستم های کنترل

۴ معادلات دیفرانسیل خطی غیر متغیر با زمان LTI، مروری بر تبدیل لاپلاس، ویژگی های تبدیل لاپلاس، استفاده از تبدیل لاپلاس در نمایش سیستم های کنترل خطی، تعیین پاسخ کامل سیستم با تبدیل لاپلاس

## نمایش دیگران بلوکی

۵ اجزای نمودار بلوکی، اتصالات نمودار بلوکی، ساده سازی نمودار بلوکی مثال های ساده سازی

## نمودار گذر سیگنال SFG

۶ نماد ها و اجزای SFG، قانون بهره Mason در حالت کلی و در حالت خاص، مثال های ساده سازی، مدل سازی موتور DC مغناطیس دائم، نمایش فضای حالت

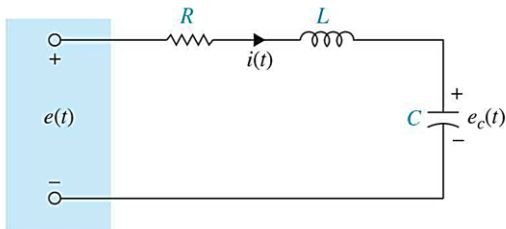
در این فصل با چندین مثال بیولوژیکی، اجتماعی و صنعتی با سیستم کنترل، اجزای آن، نمایش های فیزیکی و نمودار بلوکی و اهداف سیستم کنترل آشنا می شویم. سپس اهمیت استفاده از فیدبک و اعجاز آن در رسیدن به اهداف سه گانه همزمان را مورد بررسی قرار داده و سپس سافتار های مختلف سیستم های کنترل را مرور می کنیم. در بخش دوم این فصل نمایش های مختلف نمودار بلوکی، نمودار گذر سیگنال SFG و نمایش فضای حالت را بررسی نموده با مثال های متنوع روش ساده سازی دستی و با استفاده از ابزارهای کامپیوتری را بررسی خواهیم نمود.

# نمایش مدل در سیستم های کنترل

## مشخصات مدل

✓ نقطه شروع طراحی در سیستم های کنترل (هدف ردیابی)

□ مدل یک مدار الکتریکی

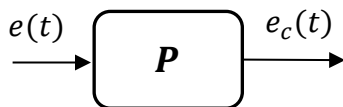


$$e(t) = R i(t) + L \frac{di(t)}{dt} + e_c(t), \quad C \dot{e}_c(t) = i(t)$$

با جایگذاری  $i(t)$  در معادله دیفرانسیل اول و نماد  $\frac{de_c(t)}{dt} = \dot{e}_c(t)$  خواهیم داشت:

$$LC \ddot{e}_c(t) + RC \dot{e}_c(t) + e_c(t) = e(t)$$

با در نظر گرفتن نمایش ورودی خروجی سیستم معادله دیفرانسیل حاکم بر رفتار ورودی-خروجی به صورت زیر به دست می آید.



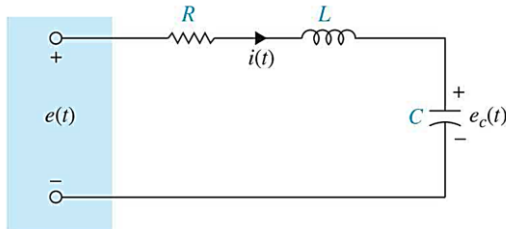
$$\ddot{e}_c(t) + \frac{R}{L} \dot{e}_c(t) + \frac{1}{LC} e_c(t) = \frac{1}{LC} e(t)$$

# نمایش مدل در سیستم های کنترل

## • مشخصات مدل

□ مدل یک مدار الکتریکی

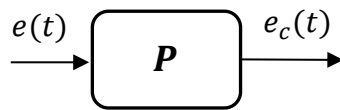
بسیار متداول است از نمادهای زیر برای سیستم های مرتبه دوم استفاده نمود:



• ثابت زمانی:  $\tau_n = 1/\sqrt{LC}$

• فرکانس طبیعی:  $\omega_n = 1/\tau_n$

• نسبت استهلاک  $\xi = \frac{R}{2} \sqrt{C/L}$

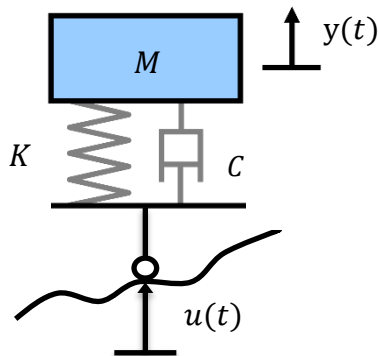


$$\ddot{e}_c(t) + 2\xi\omega_n\dot{e}_c(t) + \omega_n^2 e_c(t) = \omega_n^2 e(t)$$

این سیستم با یک معادله دیفرانسیل خطی غیر متغیر با زمان LTI نمایش داده شده است.

## • مشخصات مدل

✓ مدل ساده سیستم تعلیق خودرو: (هدف تنظیم)

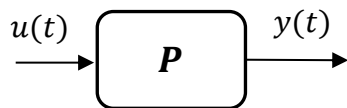


$$M\ddot{y}(t) + C\dot{y}(t) + Ky(t) = C\dot{u}(t) + Ku(t)$$

با استفاده از نمادهای زیر برای سیستم های مرتبه دوم :

• فرکانس طبیعی:  $\omega_n = \sqrt{K/M}$

• نسبت استهلاک  $\xi = \frac{C}{2} \sqrt{M/K}$



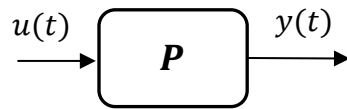
$$\ddot{y}(t) + 2\xi\omega_n\dot{y}(t) + \omega_n^2 y(t) = 2\xi\omega_n\dot{u}(t) + \omega_n^2 u(t)$$

این سیستم هم با یک معادله دیفرانسیل LTI نمایش داده شده است.



## • نمایش سیستم با معادلات دیفرانسیل LTI

✓ بسیاری از سیستم های واقعی را می توان با یک معادله دیفرانسیل مرتبه  $n$  به صورت زیر مدل نمود، که در آن  $y^{(n)}$  نماد مشتق  $n$  ام  $y$  است :



$$y^{(n)}(t) + a_{n-1}y^{(n-1)}(t) + \dots + a_1\dot{y}(t) + a_0y(t) = b_mu^{(m)}(t) + b_{m-1}u^{(m-1)}(t) + \dots + b_1\dot{u}(t) + b_0u(t)$$

✓ با استفاده از تبدیل لاپلاس می توان این سیستم را با تابع تبدیل زیر نیز نمایش داد.

$$P(s) = \frac{y(s)}{u(s)} = \frac{b_ms^m + b_{m-1}s^{m-1} + \dots + b_1s + b_0}{s^n + a_{n-1}s^{n-1} + \dots + a_1s + a_0}$$



## مروری بر تبدیل لاپلاس

- ✓ یکی از روش هایی است که توسط آن پاسخ معادلات دیفرانسیل خطی به دست می آید.
- در این روش پاسخ همگن و خصوصی معادلات دیفرانسیل به صورت همزمان به دست می آید.
- توسط این روش معادلات دیفرانسیل به معادلات جبری در فضای  $S$  تبدیل و به راحتی حل می شود.

### ✓ تعریف تبدیل لاپلاس

- در توابع علی با فرض اینکه به ازای مقدار حقیقی  $\sigma$  این انتگرال  $\int_0^{\infty} |f(t)e^{-\sigma t}| dt < \infty$  کران دار باقی بماند، تبدیل لاپلاس تابع  $f(t)$  که با  $f(s)$  نمایش داده می شود به صورت زیر تعریف می شود:

$$f(s) = \mathcal{L}(f(t)) = \int_0^{\infty} f(t)e^{-st} dt$$

که در آن متغیر  $S$  که به آن اپراتور لاپلاس نیز گفته می شود یک متغیر مختلط و برابر  $S = \sigma + j\omega$  است.

## • مروری بر تبدیل لاپلاس

✓ مثال ۱: تبدیل لاپلاس تابع پله واحد را بیابید:

$$f(t) = u_s(t) = \begin{cases} 1, & t > 0 \\ 0, & t \leq 0 \end{cases}$$

در این صورت

$$u_s(s) = \mathcal{L}(u_s(t)) = \int_0^{\infty} e^{-st} dt = -\frac{1}{s} e^{-st} \Big|_0^{\infty} = \frac{1}{s}$$

این پاسخ زمانی درست است که  $\int_0^{\infty} |u_s(t) e^{-\sigma t}| dt = \int_0^{\infty} |e^{-\sigma t}| dt < \infty$

که تنها زمانی که قسمت حقیقی متغیر  $s$  که آنرا با  $\sigma$  نمایش می دهیم بزرگتر از صفر باشد:  $\sigma > 0$ .



# نمایش مدل در سیستم های کنترل

## • مروری بر تبدیل لاپلاس

✓ مثال ۲: تبدیل لاپلاس تابع  $f(t) = e^{-\alpha t}$ ,  $t \geq 0$  را بیابید:

$$f(s) = \int_0^{\infty} e^{-\alpha t} e^{-st} dt = -\frac{1}{s + \alpha} e^{-(s+\alpha)t} \Big|_0^{\infty} = \frac{1}{s + \alpha}$$

این پاسخ زمانی درست است که  $\sigma + \alpha > 0$  باشد.

✓ مثال ۳: تبدیل لاپلاس تابع  $f(t) = t^5 + 2t^3$ ,  $t \geq 0$  را بیابید:

```
% Defining symbolic variables:
syms t
f=t^5 + 2*t^3;
% Laplace transform operation
F=laplace(f)
```

```
F =
12/s^4 + 120/s^6
```



مل دستی



مل کامپیوتری



# نمایش مدل در سیستم های کنترل

## جدول تبدیل لاپلاس

Laplace Transform $F(s)$	Time Function $f(t)$
$\frac{s}{(s+\alpha)^2}$	$(1-\alpha t)e^{-\alpha t}$
$\frac{\omega_n}{s^2+\omega_n^2}$	$\sin \omega_n t$
$\frac{s}{s^2+\omega_n^2}$	$\cos \omega_n t$
$\frac{\omega_n^2}{s(s^2+\omega_n^2)}$	$1 - \cos \omega_n t$
$\frac{\omega_n^2(s+\alpha)}{s^2+\omega_n^2}$	$\omega_n \sqrt{\alpha^2 + \omega_n^2} \sin(\omega_n t + \theta)$ where $\theta = \tan^{-1}(\omega_n/\alpha)$
$\frac{\omega_n}{(s+\alpha)(s^2+\omega_n^2)}$	$\frac{\omega_n}{\alpha^2 + \omega_n^2} e^{-\alpha t} + \frac{1}{\sqrt{\alpha^2 + \omega_n^2}} \sin(\omega_n t - \theta)$ where $\theta = \tan^{-1}(\omega_n/\alpha)$
$\frac{\omega_n^2}{s^2 + 2\zeta\omega_n s + \omega_n^2}$	$\frac{\omega_n}{\sqrt{1-\zeta^2}} e^{-\zeta\omega_n t} \sin \omega_n \sqrt{1-\zeta^2} t (\zeta < 1)$
$\frac{\omega_n^2}{s(s^2 + 2\zeta\omega_n s + \omega_n^2)}$	$1 - \frac{1}{\sqrt{1-\zeta^2}} e^{-\zeta\omega_n t} \sin(\omega_n \sqrt{1-\zeta^2} t + \theta)$ where $\theta = \cos^{-1} \zeta (\zeta < 1)$
$\frac{s\omega_n^2}{s^2 + 2\zeta\omega_n s + \omega_n^2}$	$\frac{-\omega_n^2}{\sqrt{1-\zeta^2}} e^{-\zeta\omega_n t} \sin(\omega_n \sqrt{1-\zeta^2} t - \theta)$ where $\theta = \cos^{-1} \zeta (\zeta < 1)$
$\frac{\omega_n^2(s+\alpha)}{s^2 + 2\zeta\omega_n s + \omega_n^2}$	$\omega_n \sqrt{\frac{\alpha^2 - 2\alpha\zeta\omega_n + \omega_n^2}{1-\zeta^2}} e^{-\zeta\omega_n t} \sin(\omega_n \sqrt{1-\zeta^2} t + \theta)$ where $\theta = \tan^{-1} \frac{\omega_n \sqrt{1-\zeta^2}}{\alpha - \zeta\omega_n} (\zeta < 1)$
$\frac{\omega_n^2}{s^3(s^2 + 2\zeta\omega_n s + \omega_n^2)}$	$t - \frac{2\zeta}{\omega_n} + \frac{1}{\omega_n \sqrt{1-\zeta^2}} e^{-\zeta\omega_n t} \sin(\omega_n \sqrt{1-\zeta^2} t + \theta)$ where $\theta = \cos^{-1}(2\zeta^2 - 1) (\zeta < 1)$

Laplace Transform $F(s)$	Time Function $f(t)$
1	Unit-impulse function $\delta(t)$
$\frac{1}{s}$	Unit-step function $u_s(t)$
$\frac{1}{s^2}$	Unit-ramp function $t$
$\frac{n!}{s^{n+1}}$	$t^n$ ( $n$ = positive integer)
$\frac{1}{s+\alpha}$	$e^{-\alpha t}$
$\frac{1}{(s+\alpha)^2}$	$te^{-\alpha t}$
$\frac{n!}{(s+\alpha)^{n+1}}$	$t^n e^{-\alpha t}$ ( $n$ = positive integer)
$\frac{1}{(s+\alpha)(s+\beta)}$	$\frac{1}{\beta-\alpha} (e^{-\alpha t} - e^{-\beta t}) (\alpha \neq \beta)$
$\frac{s}{(s+\alpha)(s+\beta)}$	$\frac{1}{\beta-\alpha} (\beta e^{-\beta t} - \alpha e^{-\alpha t}) (\alpha \neq \beta)$
$\frac{1}{s(s+\alpha)}$	$\frac{1}{\alpha} (1 - e^{-\alpha t})$
$\frac{1}{s(s+\alpha)^2}$	$\frac{1}{\alpha^2} (1 - e^{-\alpha t} - \alpha t e^{-\alpha t})$
$\frac{1}{s^2(s+\alpha)}$	$\frac{1}{\alpha^2} (\alpha t - 1 + e^{-\alpha t})$
$\frac{1}{s^2(s+\alpha)^2}$	$\frac{1}{\alpha^3} \left[ t - \frac{2}{\alpha} + \left( t + \frac{2}{\alpha} \right) e^{-\alpha t} \right]$

برگرفته از ضمیمه کتاب Kou

## • ویژگی های تبدیل لاپلاس

$$\mathcal{L} [\alpha f_1(t) + \beta f_2(t)] = \alpha f_1(s) + \beta f_2(s)$$

✓ خطی بودن

$$\mathcal{L} [\dot{f}(t)] = s f(s) - f(0)$$

✓ مشتق گیری

□ متغیر  $s$  اپراتور مشتق گیری در حوزه  $s$  است

$$\mathcal{L} [f^{(n)}(t)] = s^n f(s) - s^{n-1} f(0) - s^{n-2} \dot{f}(0) - \dots - f^{(n-1)}(0) \quad \square$$

□ مشتق گیری مرتبه بالاتر:

$$\mathcal{L} \left[ \int_0^t f(\tau) d\tau \right] = \frac{1}{s} f(s)$$

✓ انتگرال گیری

□  $\frac{1}{s}$  اپراتور انتگرال گیری در حوزه  $s$  است

$$\mathcal{L} \left[ \int_0^{t_1} \int_0^{t_2} \dots \int_0^{t_n} f(\tau_1) d\tau_1 d\tau_2 \dots d\tau_n(\tau) \right] = \frac{1}{s^n} f(s) \quad \square$$

□ انتگرال گیری مرتبه بالاتر:



## ویژگی های تبدیل لاپلاس

•

$$\mathcal{L}[f(t-T)u_s(t-T)] = e^{-Ts}f(s)$$

✓ شیفتم زمانی  $T$ 

$$u_s(t-T) = \begin{cases} 1, & t > T \\ 0, & t \leq T \end{cases}, \quad t > T$$

□ که در آن

$$f(s \pm a) = \mathcal{L}[e^{\mp at}f(t)]$$

✓ شیفتم در متغیر مختلط  $s$ 

$$\begin{aligned} \mathcal{L}\left[\int_0^t f_1(\tau)f_2(t-\tau)d\tau\right] &= \mathcal{L}\left[\int_0^t f_2(\tau)f_1(t-\tau)d\tau\right] \quad \checkmark \text{ تبدیل انتگرال کانولوشن به ضرب} \\ &= \mathcal{L}[f_1(t) * f_2(t)] = f_1(s) \cdot f_2(s) \end{aligned}$$

$$\lim_{t \rightarrow 0} f(t) = \lim_{s \rightarrow \infty} sf(s)$$

✓ قضیه مقدار اولیه

$$\lim_{t \rightarrow \infty} f(t) = \lim_{s \rightarrow 0} sf(s)$$

✓ قضیه مقدار نهایی: اگر  $sf(s)$  بر روی محور  $j\omega$  تحلیلی باشد، آنگاه

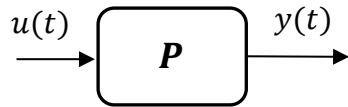
# نمایش مدل در سیستم های کنترل



## • استفاده از تبدیل لاپلاس در نمایش سیستم های فطی

✓ تابع تبدیل: معادله دیفرانسیل عمومی یک سیستم را در نظر بگیرید.

$$y^{(n)}(t) + a_{n-1}y^{(n-1)}(t) + \dots + a_1\dot{y}(t) + a_0y(t) \\ = b_mu^{(m)}(t) + b_{m-1}u^{(m-1)}(t) + \dots + b_1\dot{u}(t) + b_0u(t)$$



✓ تابع تبدیل سیستم با اعمال اپراتور لاپلاس به ازای شرایط اولیه صفر در سیستم به صورت زیر به دست می آید.

$$P(s) = \frac{y(s)}{u(s)} = \frac{b_ms^m + b_{m-1}s^{m-1} + \dots + b_1s + b_0}{s^n + a_{n-1}s^{n-1} + \dots + a_1s + a_0}$$

✓ معادله مشخصه سیستم با اتحاد مخرج تابع تبدیل سیستم با صفر به دست می آید.

$$s^n + a_{n-1}s^{n-1} + \dots + a_1s + a_0 = 0$$

# نمایش مدل در سیستم های کنترل

## • استفاده از تبدیل لاپلاس در نمایش سیستم های فطی

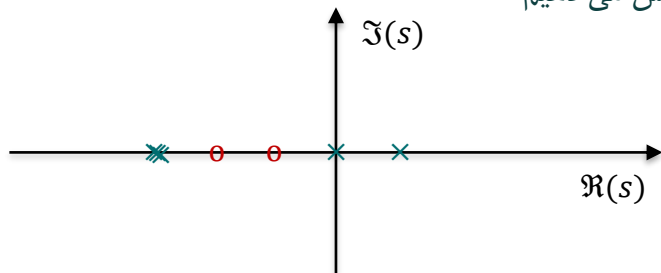
- ✓ قطب سیستم: قطب سیستم در صفحه مختلط در محل ریشه های معادله مشخصه سیستم قرار دارد.
- ✓ صفر سیستم: صفر های سیستم در محل ریشه های چند جمله ای صورت تابع تبدیل قرار دارند
- ✓ تابع تبدیل  $P(s)$  در محدوده ای از صفحه مختلط  $S$  تحلیلی است اگر این تابع و تمام مشتقات آن در این محدوده کراندار باشند.

$$P(s) = \frac{10(s+1)(s+2)}{s(s-1)(s+3)^3}$$

□ مثال: سیستمی با تابع تبدیل زیر را در نظر بگیرید:

سیستم دارای دو قطب در  $s = 0, s = 1$  و سه قطب تکراری در  $s = -3$ ، و دو صفر در  $s = -1, s = -2$

قطبها را با علامت  $\times$  و صفر ها را با علامت  $o$  در صفحه مختلط  $S$  به صورت زیر نمایش می دهیم





مل دستی

## • وارون تبدیل لاپلاس

✓ روش دستی: تجزیه به کسر های جزیی و استفاده از جداول

$$P(s) = \frac{n(s)}{d(s)} = \frac{n(s)}{(s+s_1)(s+s_2)\cdots(s+s_n)} \quad \square \text{ سیستم با قطب های ساده:}$$

$$P(s) = \frac{K_1}{s+s_1} + \frac{K_2}{s+s_2} + \cdots + \frac{K_n}{s+s_n} \quad \square \text{ تجزیه سیستم به جمع کسرهای جزئی ساده:}$$

$$K_i = (s + s_i)P(s)|_{s=-s_i}, \quad i = 1, 2, \dots, n \quad \bullet \text{ که در آن}$$

$$P(s) = \frac{5s+3}{s^3+6s^2+11s+6} = \frac{5s+3}{(s+1)(s+2)(s+3)} \quad \square \text{ مثال سیستم زیر را در نظر بگیرید:}$$

$$K_1 = \left. \frac{5s+3}{(s+2)(s+3)} \right|_{s=-1} = -1 \quad \bullet \text{ که در آن}$$

$$K_2 = \left. \frac{5s+3}{(s+1)(s+3)} \right|_{s=-2} = +7, \quad K_3 = \left. \frac{5s+3}{(s+1)(s+2)} \right|_{s=-3} = -6$$

# نمایش مدل در سیستم های کنترل

## • وارون تبدیل لاپلاس

✓ روش دستی: تجزیه به کسر های جزیی و استفاده از جداول

□ بدین ترتیب:

$$P(s) = \frac{-1}{s+1} + \frac{7}{s+2} + \frac{-6}{s+3}$$

□ وارون این تابع تبدیل با استفاده از جدول به صورت زیر به دست می آید:

$$P(t) = -e^{-t} + 7e^{-2t} - 6e^{-3t}, \quad \forall t \geq 0$$

$$P(s) = \frac{5s+3}{s^3+6s^2+11s+6}$$

✓ روش کامپیوتری: وارون تبدیل لاپلاس سیستم زیر را به دست آورید:

```
% Inverse Laplace transform
clear all
% Defining symbolic variables:
syms s
P=(5*s+3)/(s^3+6*s^2+11*s+6);
p=ilaplace(P)

p = 7*exp(-2*t) - exp(-t) - 6*exp(-3*t)
```



مل دستی



مل کامپیوتری

# نمایش مدل در سیستم های کنترل

## وارون تبدیل لاپلاس

✓ روش دستی: تجزیه به کسرهای جزئی و استفاده از جداول

$$P(s) = \frac{n(s)}{d(s)} = \frac{n(s)}{(s+s_1)(s+s_2)\cdots(s+s_{n-r})(s+s_j)^r}$$

□ سیستم با قطبهای ساده و تکراری:

$$P(s) = \frac{K_1}{s+s_1} + \frac{K_2}{s+s_2} + \cdots + \frac{K_{n-r}}{s+s_{n-r}}$$

□ تجزیه سیستم به جمع کسرهای جزئی ساده:

$$\frac{A_1}{s+s_j} + \frac{A_2}{(s+s_j)^2} + \cdots + \frac{A_{r-1}}{(s+s_j)^{r-1}} + \frac{A_r}{(s+s_j)^r}$$

$$K_i = (s + s_i)P(s)|_{s=-s_i}, \quad i = 1, 2, \dots, n-r$$

• که در آن

$$A_r = (s + s_i)^r P(s)|_{s=-s_j}, \quad A_{r-1} = \frac{d}{ds} [(s + s_i)^r P(s)]|_{s=-s_j}$$

• و

$$A_{r-2} = \frac{1}{2!} \frac{d^2}{ds^2} [(s + s_i)^r P(s)]|_{s=-s_j}, \dots, A_1 = \frac{1}{(r-1)!} \frac{d^{r-1}}{ds^{r-1}} [(s + s_i)^r P(s)]|_{s=-s_j}$$

• و





## • وارون تبدیل لاپلاس

$$P(s) = \frac{1}{s(s+2)(s+1)^3} \quad \checkmark \text{ وارون تبدیل لاپلاس سیستم زیر را به دست آورید:}$$

$$P(s) = \frac{K_1}{s} + \frac{K_2}{(s+2)} + \frac{A_3}{(s+1)^3} + \frac{A_2}{(s+1)^2} + \frac{A_1}{(s+1)} \quad \square \text{ تجزیه به کسرهای جزئی:}$$

$$K_1 = sP(s)|_{s=0} = \frac{1}{2}, \quad K_2 = (s+2)P(s)|_{s=-2} = \frac{1}{2}, \quad A_3 = (s+1)^3 P(s)|_{s=-1} = -1,$$

$$A_2 = \frac{d}{ds} \left[ \frac{1}{s(s+2)} \right]_{s=-1} = \frac{-2s-2}{s^2(s+2)^2} \Big|_{s=-1} = 0$$

$$A_1 = \frac{1}{2!} \frac{d}{ds} \left[ \frac{-2s-2}{s^4+4s^3+4s^2} \right]_{s=-1} = \frac{1}{2} \frac{-2(s^4+4s^3+4s^2) + 2(s+1)(4s^3+12s^2+8s)}{(s^4+4s^3+4s^2)^2} \Big|_{s=-1} = -1$$

$$P(t) = \frac{1}{2} + \frac{1}{2} e^{-2t} - e^{-t} - \frac{1}{2} t^2 e^{-t} \quad \square \text{ وارون تبدیل لاپلاس:}$$



حل دستی



## • وارون تبدیل لاپلاس

✓ روش کامپیوتری: وارون تبدیل لاپلاس سیستم زیر را به دست آورید:

$$P(s) = \frac{1}{s(s+1)^3(s+2)}$$

```
%% Inverse Laplace transform
clear all
% Defining symbolic variables:
syms s
P=1/(s*(s+1)^3*(s+2));
p=ilaplace(P)
```

$$p = \exp(-2*t)/2 - \exp(-t) - (t^2*\exp(-t))/2 + 1/2$$



مل کامپیوتری



## • استفاده از تبدیل لاپلاس در تعیین پاسخ کامل سیستم خطی

✓ مثال پاسخ سیستم زیر را به ورودی پله واحد  $u(t) = u_s(t)$  با شرایط اولیه  $x(0)$

$$\ddot{x}(t) + 3\dot{x}(t) + 2x(t) = 5u(t) \quad \dot{x}(0) = 2, \quad x(0) = -1 \text{ به دست آورید.}$$

$$s^2 x(s) - sx(0) - \dot{x}(0) + 3sx(s) - 3x(0) + 2x(s) = \frac{5}{s} \quad \square \text{ لاپلاس بگیرید:}$$

$$x(s)(s^2 + 3s + 2) = \frac{5}{s} - s - 1 \rightarrow x(s) = \frac{-s^2 - s + 5}{s(s+1)(s+2)}$$

$$x(s) = \frac{K_1}{s} + \frac{K_2}{s+1} + \frac{K_3}{s+2} \quad \square \text{ تجزیه به کسرهای جزیی:}$$

$$K_1 = \frac{5}{2}, \quad K_2 = -5, \quad K_3 = \frac{3}{2}$$

$$x(t) = \frac{5}{2} - 5e^{-t} + \frac{3}{2}e^{-2t} \quad \forall t \geq 0 \quad \square \text{ وارون تبدیل لاپلاس:}$$



# نمایش مدل در سیستم های کنترل

• استفاده از تبدیل لاپلاس در تعیین پاسخ کامل سیستم فطی

$$x(s) = \frac{-s^2 - s + 5}{s(s+1)(s+2)}$$

✓ وارون لاپلاس سیستم:

**Solution** Keep Practicing >

Show Steps

Laplace Inverse Transform of  $\frac{-s^2 - s + 5}{s(s+1)(s+2)}$ :  $\frac{5}{2}H(t) - 5e^{-t} + \frac{3}{2}e^{-2t}$

**Steps**

$L^{-1}\left\{\frac{-s^2 - s + 5}{s(s+1)(s+2)}\right\}$

Take the partial fraction of  $\frac{-s^2 - s + 5}{s(s+1)(s+2)}$ :  $\frac{5}{2s} - \frac{5}{s+1} + \frac{3}{2(s+2)}$  Show Steps



مل online

سایت Symbolab



## Pierre-Simon Laplace

(23 March 1749 – 5 March 1827)

was a French **scholar** and **polymath** whose work was important to the development of **engineering**, **mathematics**, **statistics**, **physics**, **astronomy**, and **philosophy**. He summarized and extended the work of his **predecessors** in his five-volume *Mécanique Céleste* (Celestial Mechanics) (1799–1825). This work translated the geometric study of **classical mechanics** to one based on **calculus**, opening up a broader range of problems. In statistics, the **Bayesian interpretation** of probability was developed mainly by Laplace. Laplace formulated **Laplace's equation**, and pioneered the **Laplace transform** which appears in many branches of **mathematical physics**, a field that he took a leading role in forming. The **Laplacian differential operator**, widely used in mathematics, is also named after him. He restated and developed the **nebular hypothesis** of the **origin of the Solar System** and was one of the first scientists to postulate the existence of **black holes** and the notion of **gravitational collapse**.

Laplace is remembered as one of the greatest scientists of all time. Sometimes referred to as the *French Newton* or *Newton of France*, he has been described as possessing a phenomenal natural mathematical faculty superior to that of any of his contemporaries. He was Napoleon's examiner when **Napoleon** attended the *École Militaire* in Paris in 1784. Laplace became a count of the **Empire** in 1806 and was named a **marquis** in 1817, after the **Bourbon Restoration**.

[برگرفته از پیوند](#)



## پیشگفتار

۱ سیستم کنترل چیست، اجزای سیستم کنترل، نمایش فیزیکی و نمودار بلوکی سیستم کنترل، اهداف سیستم کنترل

## اعجاز فیدبک

۲ مقایسه سیستم حلقه باز و حلقه بسته، بررسی همزمان اهداف تنظیم یا ردیابی، رفع اثر اغتشاش و عدم حساسیت به شناخت دقیق سیستم

## سافتارهای مختلف سیستم کنترل

۳ سیستم حلقه باز، سیستم حلقه بسته، سیستم حلقه بسته با کنترلگر پیش خور، سیستم حلقه بسته با دو کنترلگر آبخاری، سیستم حلقه بسته آبخاری با دو خروجی، سیستم حلقه بسته با فیدبک حالت

## نمایش مدل در سیستم های کنترل

۴ معادلات دیفرانسیل خطی غیر متغیر با زمان LTI، مروری بر تبدیل لاپلاس، ویژگی های تبدیل لاپلاس، استفاده از تبدیل لاپلاس در نمایش سیستم های کنترل خطی، تعیین پاسخ کامل سیستم با تبدیل لاپلاس

## نمایش دیگران بلوکی

۵ اجزای نمودار بلوکی، اتصالات نمودار بلوکی، ساده سازی نمودار بلوکی مثال های ساده سازی

## نمودار گذر سیگنال SFG

۶ نماد ها و اجزای SFG، قانون بهره Mason در حالت کلی و در حالت خاص، مثال های ساده سازی، مدل سازی موتور DC مغناطیس دائم، نمایش فضای حالت

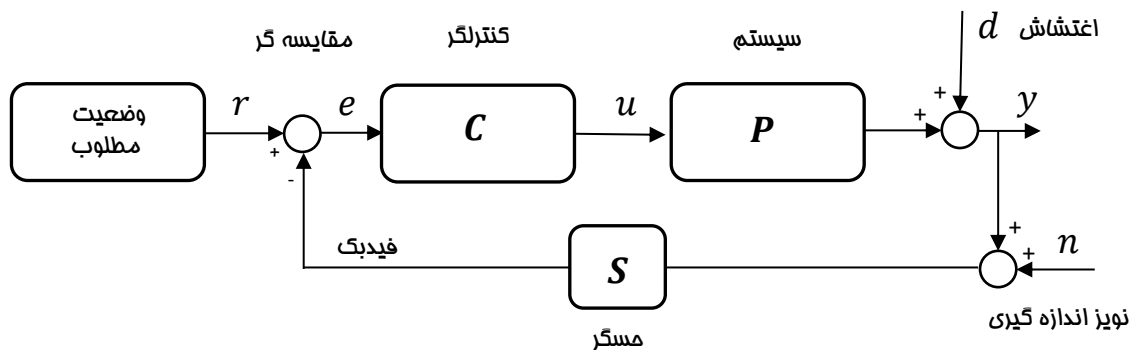
در این فصل با چندین مثال بیولوژیکی، اجتماعی و صنعتی با سیستم کنترل، اجزای آن، نمایش های فیزیکی و نمودار بلوکی و اهداف سیستم کنترل آشنا می شویم. سپس اهمیت استفاده از فیدبک و اعجاز آن در رسیدن به اهداف سه گانه همزمان را مورد بررسی قرار داده و سپس سافتارهای مختلف سیستم های کنترل را مرور می کنیم. در بخش دوم این فصل نمایش های مختلف نمودار بلوکی، نمودار گذر سیگنال SFG و نمایش فضای حالت را بررسی نموده با مثال های متنوع روش ساده سازی دستی و با استفاده از ابزارهای کامپیوتری را بررسی خواهیم نمود.

# نمایش نمودار بلوکی

## • ساده سازی نمودار بلوکی

✓ نمودار بلوکی روشی ساده برای نمایش سیستم ها در فضای لاپلاس است.

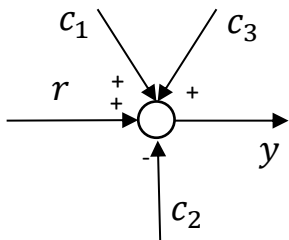
□ نمایش عمومی یک سیستم کنترل با نمودار بلوکی (خروجی  $y$  تحت تاثیر ورودی های ردیابی  $r$ ، اغتشاش  $d$ ، و نویز  $n$ )



✓ با استفاده از جبر حاکم بر نمودار بلوکی تابع تبدیل سیستم حلقه بسته را می توان یافت:

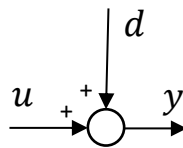
$$y(s) = M(s)r(s) + D(s)d(s) + N(s)n(s)$$

## • ساده سازی نمودار بلوکی



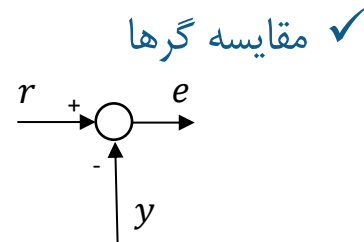
چندین جمع و تفریق

$$y(s) = r(s) + c_1(s) - c_2(s) + c_3(s),$$



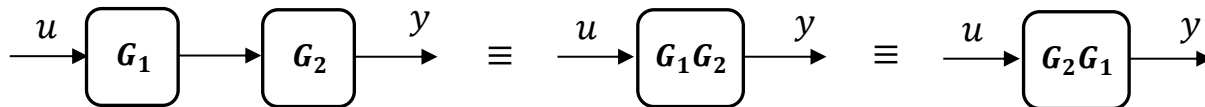
جمع کننده

$$y(s) = u(s) + d(s),$$



تفاضلی

$$e(s) = r(s) - y(s)$$



اتصال سری ✓





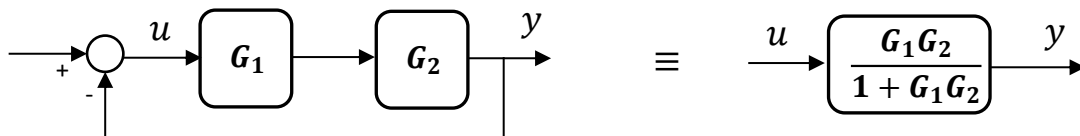
- ساده سازی نمودار بلوکی

✓ اتصال موازی



✓ اتصال فیدبک منفی

## با کنترلگر در مدار پسخور



✓ اتصال فیدبک منفی

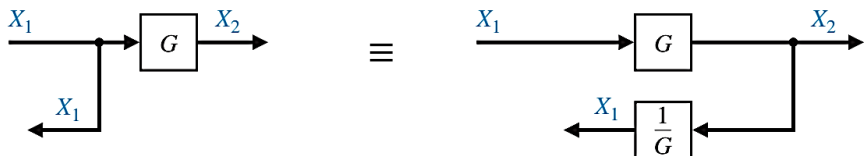
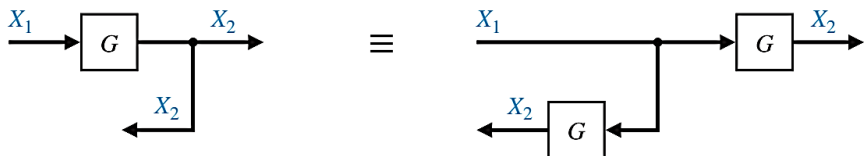
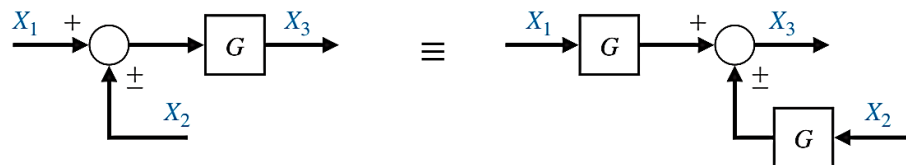
## با کنترلگر در مدار پیش رو

## • ساده سازی نمودار بلوکی

✓ جابه جایی مقایسه گر

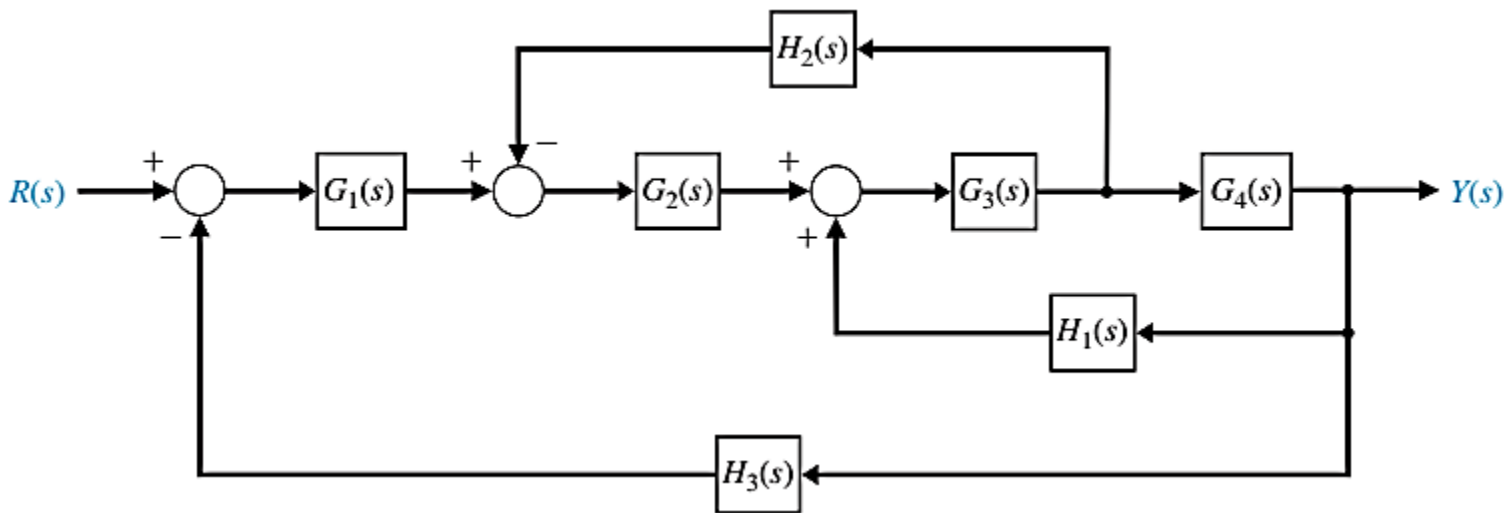
✓ جابه جایی نقطه اتصال

✓ جابه جایی مقایسه گر و سیستم



## • ساده سازی نمودار بلوکی

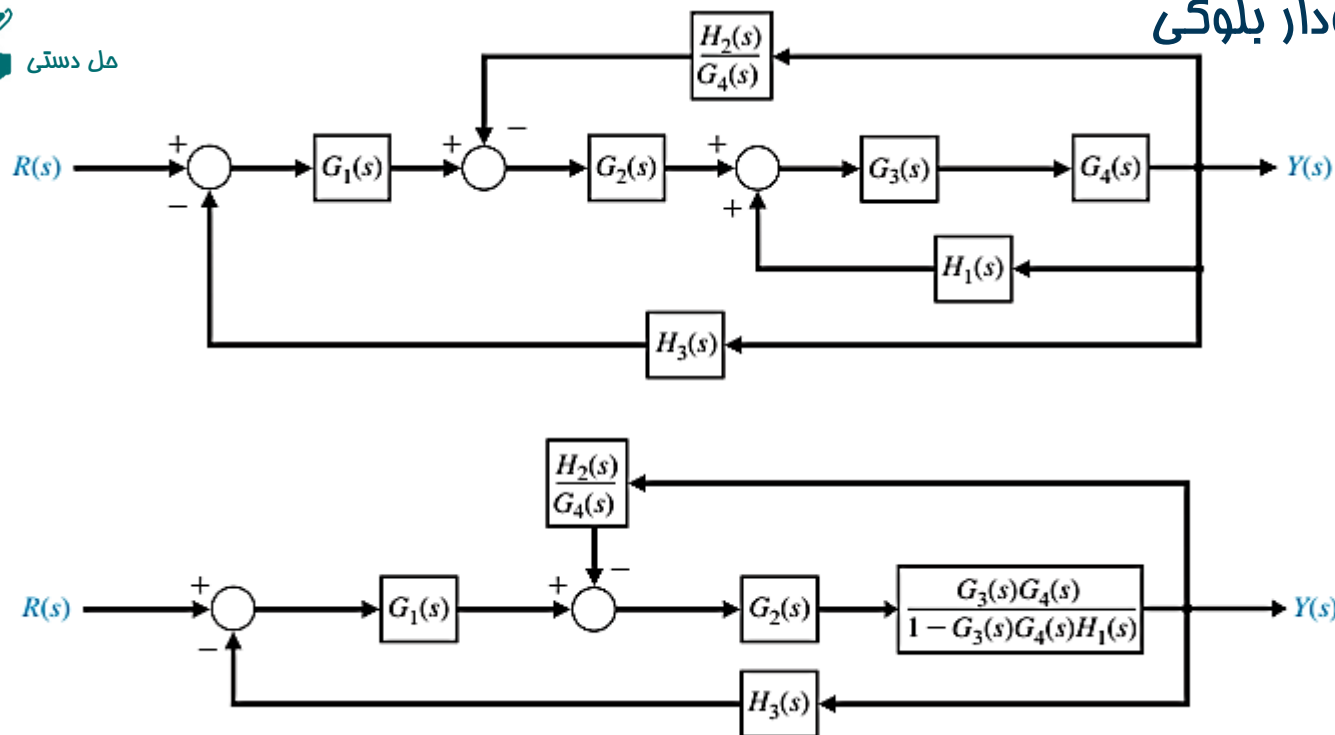
✓ مثال ۱: تابع تبدیل سیستم حلقه بسته زیر را به دست آورید.



برگرفته از کتاب Dorf

## • ساده سازی نمودار بلوکی

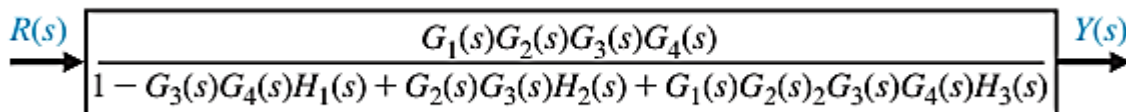
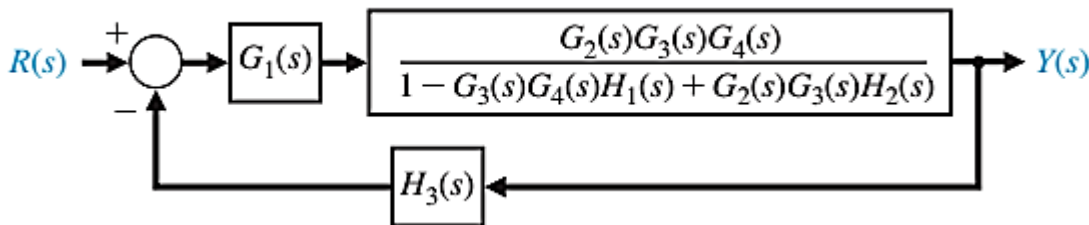
✓ ادامه مثال ۱



برگرفته از کتاب Dorf

# • ساده سازی نمودار بلوکی

✓ ادامه مثال ۱





## پیشگفتار

۱ سیستم کنترل چیست، اجزای سیستم کنترل، نمایش فیزیکی و نمودار بلوکی سیستم کنترل، اهداف سیستم کنترل

## اعجاز فیدبک

۲ مقایسه سیستم حلقه باز و حلقه بسته، بررسی همزمان اهداف تنظیم یا ردیابی، رفع اثر اغتشاش و عدم حساسیت به شناخت دقیق سیستم

## سافتارهای مختلف سیستم کنترل

۳ سیستم حلقه باز، سیستم حلقه بسته، سیستم حلقه بسته با کنترلگر پیش خور، سیستم حلقه بسته با دو کنترلگر آبخاری، سیستم حلقه بسته آبخاری با دو خروجی، سیستم حلقه بسته با فیدبک حالت

## نمایش مدل در سیستم های کنترل

۴ معادلات دیفرانسیل خطی غیر متغیر با زمان LTI، مروری بر تبدیل لاپلاس، ویژگی های تبدیل لاپلاس، استفاده از تبدیل لاپلاس در نمایش سیستم های کنترل خطی، تعیین پاسخ کامل سیستم با تبدیل لاپلاس

## نمایش دیگران بلوکی

۵ اجزای نمودار بلوکی، اتصالات نمودار بلوکی، ساده سازی نمودار بلوکی مثال های ساده سازی

## نمودار گذر سیگنال SFG

۶ نماد ها و اجزای SFG، قانون بهره Mason در حالت کلی و در حالت خاص، مثال های ساده سازی، مدل سازی موتور DC مغناطیس دائم، نمایش فضای حالت

در این فصل با چندین مثال بیولوژیکی، اجتماعی و صنعتی با سیستم کنترل، اجزای آن، نمایش های فیزیکی و نمودار بلوکی و اهداف سیستم کنترل آشنا می شویم. سپس اهمیت استفاده از فیدبک و اعجاز آن در رسیدن به اهداف سه گانه همزمان را مورد بررسی قرار داده و سپس سافتارهای مختلف سیستم های کنترل را مرور می کنیم. در بخش دوم این فصل نمایش های مختلف نمودار بلوکی، نمودار گذر سیگنال SFG و نمایش فضای حالت را بررسی نموده با مثال های متنوع روش ساده سازی دستی و با استفاده از ابزارهای کامپیوتری را بررسی خواهیم نمود.

# نمایش مدل در سیستم های کنترل

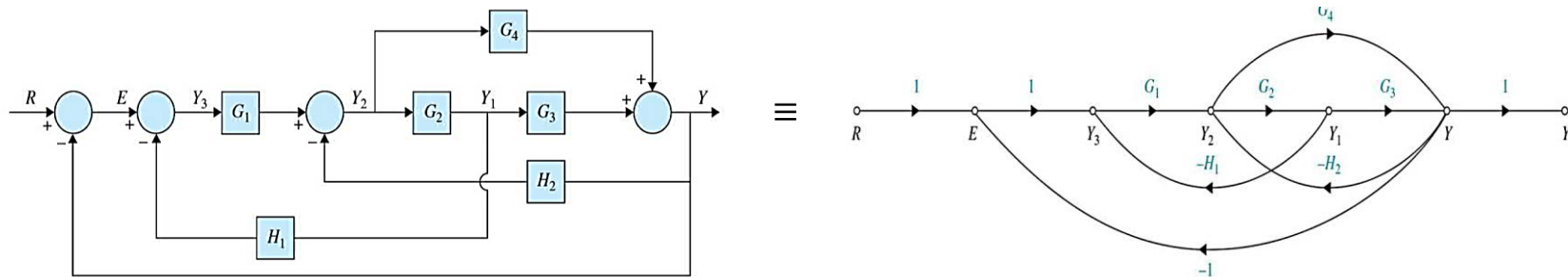
## نمودار گذر سیگنال Signal Flow Graph

✓ روش دیگری برای نمایش اتصال پیچیده سیستم ها SFG است

✓ در این نمایش به جای استفاده از نمودار بلوکی از نمودار گذر سیگنال به صورت زیر استفاده می شود.



✓ بدین ترتیب می توان نمودار های بلوکی را با SFG نمایش داد:



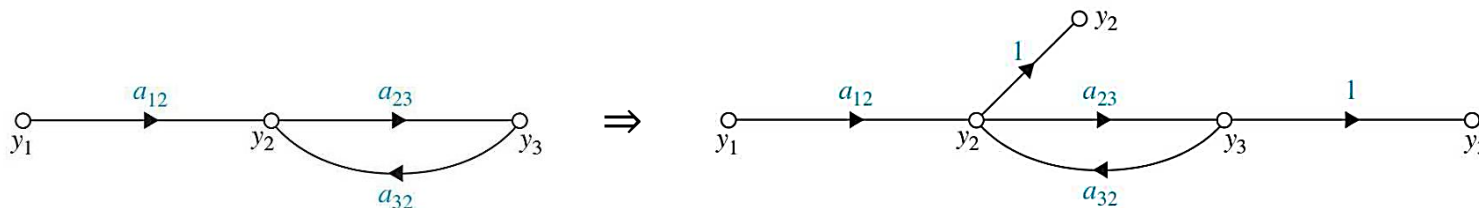
برگرفته از کتاب Kou

## نمادهای نمودار گذر سیگنال SFG

✓ اجزای یک SFG

□ گره ورودی  $u$ ، گره خروجی  $y$ ، گره میانی:

• نحوه تمایز گره های ورودی و خروجی از گره های میانی: در این مثال  $y_1$  گره ورودی و  $y_2, y_3$  هر دو گره خروجی هستند



□ مسیر پیش رو: مسیری که از یک گره ورودی آغاز و به یک گره خروجی منتهی می شود، بدون اینکه هیچ یک از گره های مسیر بیش از یک بار نورددیده شوند.

□ حلقه: مسیری که از یک گره آغاز و به همان گره بر می گردد بدون آنکه یک گره ای در مسیر را بیش از یک بار طی کند.

□ حلقه های بی تماس: حلقه هایی که دارای گره مشترکی نباشند.

برگرفته از کتاب Kou



# نمودار گذر سیگنال Signal Flow Graph

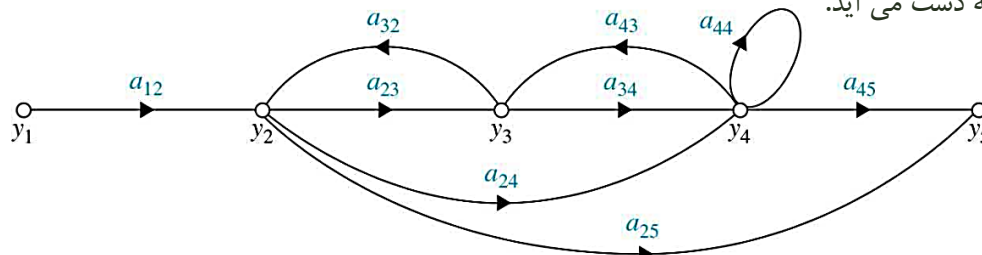
## نماد های نمودار گذر سیگنال SFG

✓ اجزای یک SFG

□ بهره مسیر:

• بهره مسیر از حاصل ضرب بهره های اجزای مسیر به دست می آید.

✓ مثال: نمودار گذر سیگنال زیر را در نظر بگیرید:



□ در این مثال  $y_1$  گره ورودی و سایر گره ها می توانند به صورت گره خروجی در نظر گرفته شوند.

□ دو مسیر مستقیم بین  $y_1$  و  $y_4$  وجود دارد که دارای بهره های زیرند:  $a_{12}a_{23}a_{34}$  و  $a_{12}a_{24}$

□ دو مسیر مستقیم بین  $y_1$  و  $y_3$  وجود دارد! که دارای بهره های زیرند:  $a_{12}a_{23}$  و  $a_{12}a_{24}a_{43}$

□ چهار حلقه با بهره های زیر وجود دارند:  $a_{23}a_{32}$  و  $a_{34}a_{43}$  و  $a_{44}$  و  $a_{24}a_{43}a_{32}$

□ دو حلقه زیر بی تماس هستند:  $a_{23}a_{32}$  و  $a_{44}$ .

برگرفته از کتاب Kou

# نمودار گذر سیگنال Signal Flow Graph

## قانون بهره Mason در نمودار گذر سیگنال SFG

✓ حالت کلی:

$$M = \frac{y_{out}}{y_{in}} = \sum_{k=1}^N \frac{M_k \Delta_k}{\Delta}$$

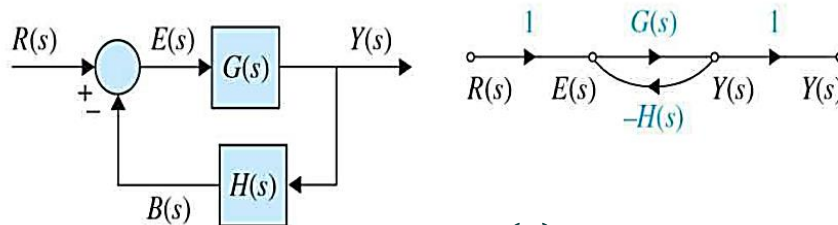
که در آن:

$y_{in}$	نماد متغیر گره ورودی
$y_{out}$	نماد متغیر گره خروجی
$M$	بهره نهایی بین متغیر ورودی و خروجی
$N$	مجموع تعداد مسیر های پیش روی بین متغیر گره ورودی و خروجی
$M_k$	بهره مسیر پیش روی $k$ ام بین ورودی و خروجی
$\Delta$	۱ - (جمع بهره های تمامی حلقه های مستقل) + (جمع حاصل ضرب بهره های تمامی ترکیب های دو حلقه بی تماس) - (جمع حاصل ضرب بهره های تمامی ترکیب های سه حلقه بی تماس) + (جمع حاصل ضرب بهره های تمامی ترکیب های چهار حلقه بی تماس) - ...
$\Delta_k$	$\Delta$ بخشی از نمودار SFG که با مسیر پیش روی $k$ ام در تماس نیست.

برگرفته از کتاب Kou

## • قانون بهره Mason در نمودار گذر سیگنال SFG

✓ مثال ۱: بهره سیستم زیر را به دست آورید.



$$M_1 = G(s)$$

پاسخ: در این مثال ساده تنها یک مسیر پیش رو وجود دارد:

$$L_{11} = -G(s)H(s)$$

تنها یک حلقه وجود دارد:

$$\Delta_1 = 1, \Delta = 1 - L_{11} = 1 + G(s)H(s)$$

هیچ حلقه بدون تماسی وجود ندارد:

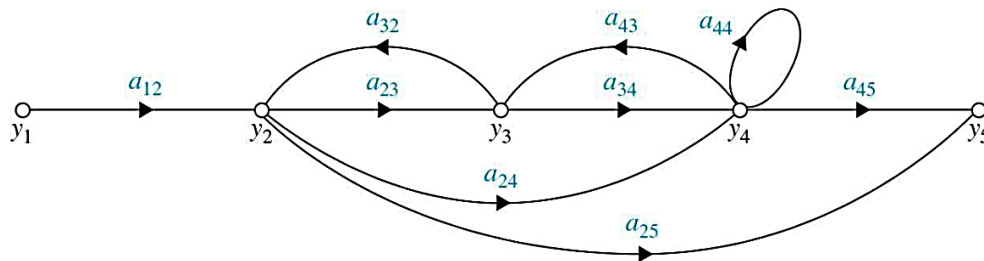
بدین ترتیب بهره نهایی سیستم به صورت زیر به دست می آید:

$$M = \frac{Y(s)}{R(s)} = \frac{M_1 \Delta_1}{\Delta} = \frac{G(s)}{1 + G(s)H(s)}$$

# نمودار گذر سیگنال Signal Flow Graph

## قانون بهره Mason در نمودار گذر سیگنال SFG

✓ مثال ۲: بهره سیستم زیر را به دست آورید.



پاسخ: در این مثال سه مسیر پیش رو وجود دارد:

$$M_1 = a_{12}a_{23}a_{34}a_{45}, M_2 = a_{12}a_{25}, M_3 = a_{12}a_{24}a_{45}$$

چهار حلقه وجود دارد:

$$L_{11} = a_{23}a_{32}, L_{21} = a_{34}a_{43}, L_{31} = a_{24}a_{43}a_{32}, L_{41} = a_{44}$$

دو حلقه بی تماس وجود دارد  $(L_{11}, L_{41})$  که حاصل ضرب بهره های ایشان برابر است با:

$$L_{12} = a_{23}a_{32}a_{44},$$

بدین ترتیب:

$$\Delta = 1 - (L_{11} + L_{21} + L_{31} + L_{41}) + L_{12}$$

$$= 1 - a_{23}a_{32} - a_{34}a_{43} - a_{24}a_{32}a_{43} - a_{44} + a_{23}a_{32}a_{44}$$

همگی حلقه ها با مسیر پیش رو اول و سوم در تماس هستند، لذا

$$\Delta_1 = \Delta_3 = 1$$

دو حلقه  $(L_{21}, L_{41})$  با مسیر پیش رو دوم در تماس نیست. لذا:

$$\Delta_2 = 1 - a_{34}a_{43} - a_{44}$$

برگرفته از کتاب Kou

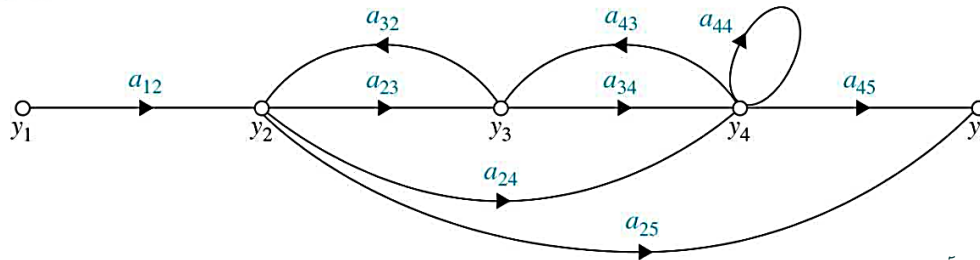
# نمودار گذر سیگنال Signal Flow Graph



مل دستی

## قانون بهره Mason در نمودار گذر سیگنال SFG

✓ ادامه مثال ۲:



بدین ترتیب بهره نهایی سیستم به صورت زیر به دست می آید:

$$M = \frac{y_5(s)}{y_1(s)} = \frac{M_1 \Delta_1 + M_2 \Delta_2 + M_3 \Delta_3}{\Delta}$$

$$= \frac{a_{12} a_{23} a_{34} a_{45} + a_{12} a_{25} (1 - a_{34} a_{43} - a_{44}) + a_{12} a_{24} a_{45}}{1 - a_{23} a_{32} - a_{34} a_{43} - a_{24} a_{32} a_{43} - a_{44} + a_{23} a_{32} a_{44}}$$

$$\frac{y_2(s)}{y_1(s)} = \frac{a_{12} (1 - a_{34} a_{43} - a_{44})}{\Delta}$$

شما می توانید به راحتی بررسی کنید که:

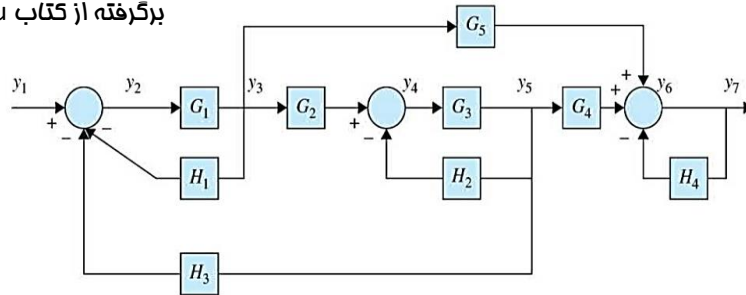
برگرفته از کتاب Kou

# نمودار گذر سیگنال Signal Flow Graph



مل دستی

برگرفته از کتاب Kou



$$M_1 = G_1 G_2 G_3 G_4, \quad M_2 = G_1 G_5$$

$$L_{11} = -G_1 H_1, \quad L_{21} = -G_3 H_2, \quad L_{31} = -G_1 G_2 G_3 H_3, \quad L_{41} = -H_4$$

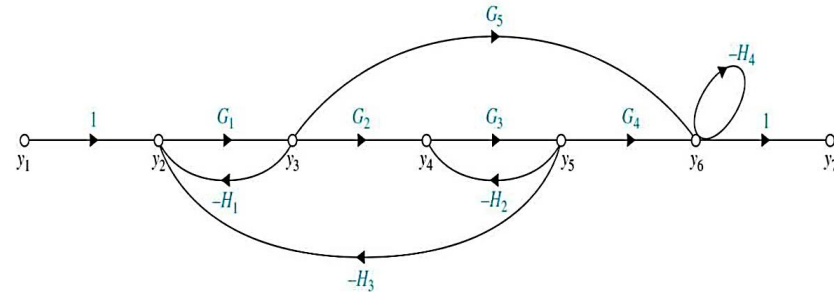
$$L_{12} = G_1 H_1 G_3 H_2, \quad L_{22} = G_1 H_1 H_4, \quad L_{32} = G_3 H_2 H_4$$

$$L_{42} = G_1 G_2 G_3 H_3 H_4$$

$$L_{13} = -G_1 G_3 H_1 H_2 H_4$$

## قانون بهره Mason در نمودار گذر سیگنال SFG

✓ مثال ۳: بهره کلی سیستم زیر را به دست آورید.



پاسخ: در این مثال دو مسیر پیش رو وجود دارد:

چهار حلقه دیده می شود:

حاصل ضرب دو از سه حلقه بی تماس عبارت است از:

حاصل ضرب دو حلقه بی تماس دیگر عبارت است از:

حاصل ضرب سه حلقه بی تماس اول نیز عبارت است از:

# نمودار گذر سیگنال Signal Flow Graph



مل دستی

## • قانون بهره Mason در نمودار گذر سیگنال SFG

✓ ادامه مثال ۳:

$$\Delta = 1 + G_1 H_1 + G_3 H_2 + G_1 G_2 G_3 H_3 + H_4 + G_1 G_3 H_1 H_2 + G_1 H_1 H_4 + G_3 H_2 H_4 + G_1 G_2 G_3 H_3 H_4 + G_1 G_3 H_1 H_2 H_4$$

بدین ترتیب:  $\Delta_1 = 1$  تمامی حلقه ها با مسیر پیش رو  $M_1$  در تماس هستند:

حلقه  $L_{21}$  با مسیر پیش رو  $M_2$  در تماس نیست:  $\Delta_2 = 1 + G_3 H_2$

بدین ترتیب:

$$M = \frac{y_7(s)}{y_1(s)} = \frac{M_1 \Delta_1 + M_2 \Delta_2}{\Delta} = \frac{G_1 G_2 G_3 G_4 + G_1 G_5 (1 + G_3 H_2)}{\Delta}$$

$$\frac{y_2(s)}{y_1(s)} = \frac{1 + G_3 H_2 + H_4 + G_3 H_2 H_4}{\Delta}$$

به همین ترتیب می توانید بهره های دیگر را پیدا کنید:

$$\frac{y_4(s)}{y_1(s)} = \frac{G_1 G_2 (1 + H_4)}{\Delta}$$

برگرفته از کتاب Kou



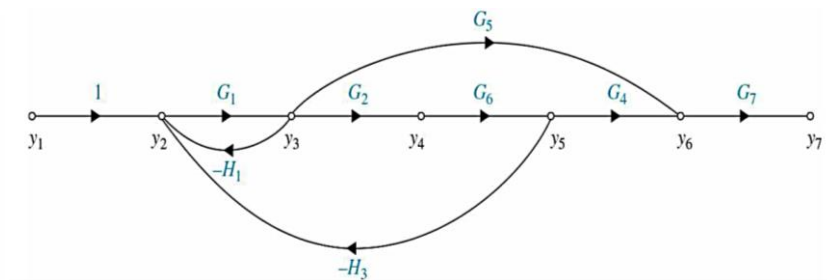
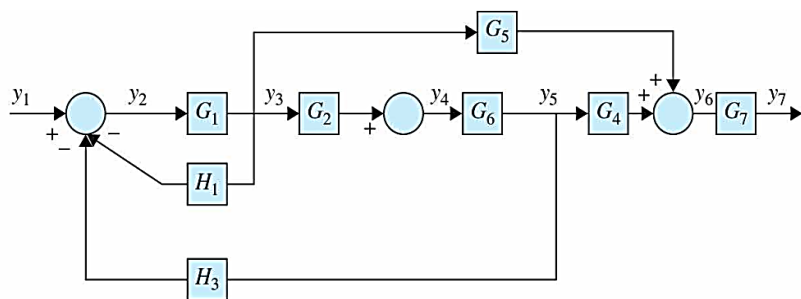
مل دستی

## • قانون بهره Mason در نمودار گذر سیگنال SFG

✓ حالت خاص: اگر همگی حلقه ها با مسیر های پیش رو در تماس باشند رابطه بهره به صورت زیر ساده می شود:

$$M = \frac{y_{out}}{y_{in}} = \sum \frac{\text{Forward Path Gains}}{1 - \text{Loop Gains}}$$

✓ سیستم مثال ۳ را با صورت زیر می توان ساده نمود که در آن حلقه ها و مسیر های پیش رو بدون تماس باشند:



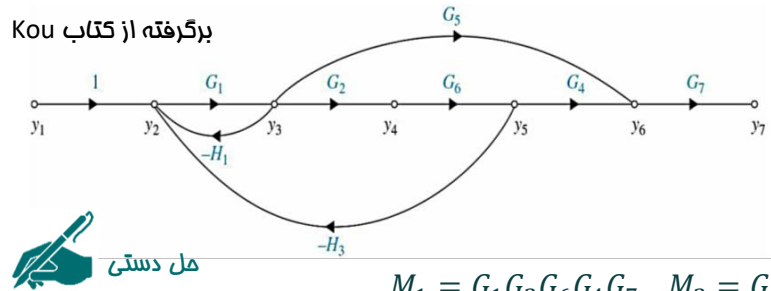
برگرفته از کتاب Kou



# نمودار گذر سیگنال Signal Flow Graph



برگرفته از کتاب Kou



## • قانون بهره Mason در نمودار گذر سیگنال SFG

✓ ادامه مثال ۴: که در آن

$$G_6 = \frac{G_3}{1+G_3H_2}, \quad G_7 = \frac{1}{1+H_4}$$

در این حالت دو مسیر پیش رو وجود دارد:

دو حلقه در تماس دیده می شود:

بدین ترتیب:

$$M_1 = G_1G_2G_6G_4G_7, \quad M_2 = G_1G_5G_7$$

$$L_{11} = -G_1H_1, \quad L_{21} = -G_1G_2G_6H_3$$

$$M = \frac{y_7(s)}{y_1(s)} = \frac{M_1 + M_2}{1 - L_{11}L_{12}}$$

$$M_1 + M_2 = G_1G_2G_4 \frac{G_3}{1+G_3H_2} \cdot \frac{1}{1+H_4} + G_1G_5 \frac{1}{1+H_4} = \frac{G_1G_2G_3G_4 + G_1G_5(1+G_3H_2)}{(1+G_3H_2)(1+H_4)}$$

$$1 - L_{11}L_{21} = 1 + G_1H_1 + G_1G_2H_3 \frac{G_3}{1+G_3H_2} = \frac{1 + G_3H_2 + G_1H_1(1+G_3H_2)}{1+G_3H_2}$$

که دقیقاً همان تابع تبدیل مثال ۳ است!

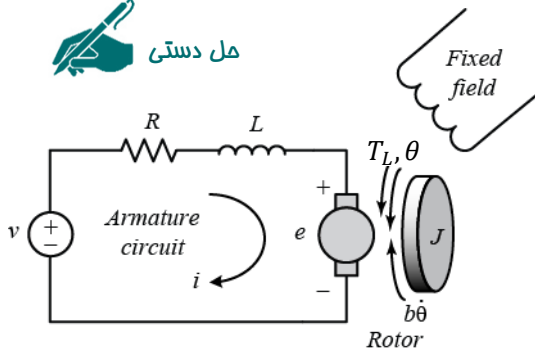
$$M = \frac{y_7(s)}{y_1(s)} = \frac{G_1G_2G_3G_4 + G_1G_5(1+G_3H_2)}{(1+G_1H_1+G_3H_2+G_1G_3H_1H_2)(1+H_4)}$$

در نتیجه:

# نمایش مدل در سیستم های کنترل



مدل دستی



## • مدل سازی و نمایش موتور DC مغناطیس دائم

✓ یک سیستم الکترو مکانیکی و پرکاربردترین عملگر در سیستم های کنترل

□ اصول حاکم در مدل موتور

• بر اساس اثر لنز، ولتاژ خود القایی متناسب با سرعت چرخش روتور ایجاد می شود

$$v_{emf} = K_v \omega$$

• گشتاور تولید شده توسط موتور متناسب با جریان موتور است:  $\tau_m = K_m i$

$$L \frac{di}{dt} + Ri + v_{emf} = v(t)$$

□ مدل سازی بخش الکتریکی

$$J \frac{d\omega}{dt} + b\omega + T_L = \tau_m$$

□ مدل سازی بخش مکانیکی

• که در آن  $L$  اندوکتانس موتور،  $R$  مقاومت آرمیچر،  $J$  ممان اینرسی بار،  $b$  ضریب استهلاک ویسکوز و  $T_L$  گشتاور اغتشاشی است

برگرفته از کتاب Dorf

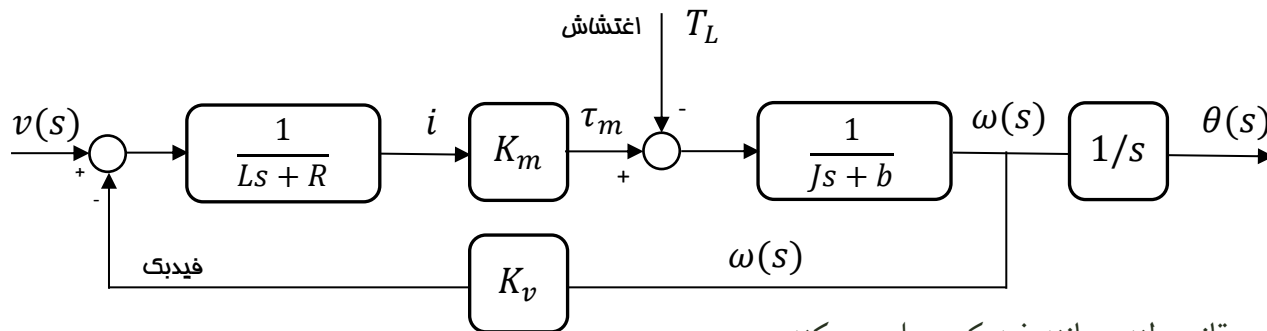
# نمایش مدل در سیستم های کنترل

## • مدل سازی و نمایش موتور DC مغناطیس دائم

✓ با جای گذاری و اعمال تبدیل لاپلاس

$$\begin{cases} (Ls + R)i(s) + K_v\omega(s) = v(s) \\ (Js + b)\omega(s) + T_L(s) = K_m i(s) \end{cases}$$

□ نمایش بلوک نمودار:



• قانون لنز همانند فیدبک عمل می کند



مدل دستی



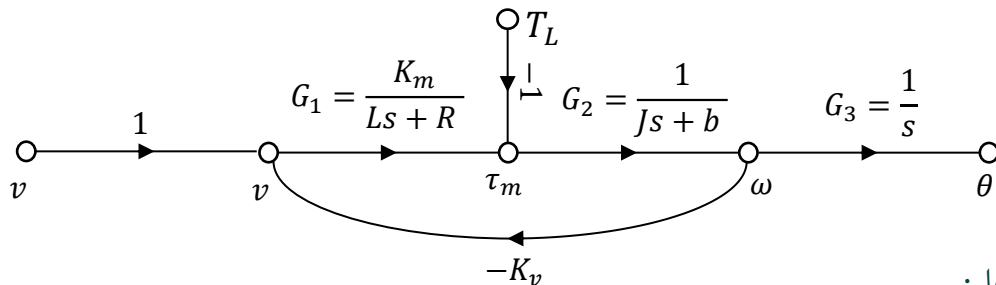
# نمایش مدل در سیستم های کنترل



مل دستی

## مدل سازی و نمایش موتور DC مغناطیس دائم

✓ نمایش SFG



□ ساده سازی و تعیین توابع تبدیل:

$$\frac{\omega(s)}{v(s)} = \frac{\frac{K_m}{(Ls + R)(Js + b)}}{1 + \frac{K_v K_m}{(Ls + R)(Js + b)}} = \frac{K_m}{(Ls + R)(Js + b) + K_v K_m},$$

$$\frac{\theta(s)}{v(s)} = \frac{K_m / LJ}{s \left( s^2 + \left( \frac{b}{J} + \frac{R}{L} \right) s + \frac{(Rb + K_v K_m)}{LJ} \right)}$$

$$\frac{\omega(s)}{T_L(s)} = \frac{\frac{-1}{(Js + b)}}{\Delta} = \frac{-(Ls + R)}{(Ls + R)(Js + b) + K_v K_m},$$

$$\frac{\theta(s)}{T_L(s)} = \frac{-(Ls + R)/LJ}{s \left( s^2 + \left( \frac{b}{J} + \frac{R}{L} \right) s + \frac{(Rb + K_v K_m)}{LJ} \right)}$$

# نمایش مدل در سیستم های کنترل

## • نمایش فضای حالت

✓ بسیاری از سیستم ها را می توان با یک دستگاه معادلات دیفرانسیل مرتبه اول نمایش داد.

$$\dot{x} = f(x(t), u(t), t)$$

$$y = h(x(t), u(t), t)$$

□ که در آن  $x$  بردار متغیر های حالت سیستم،  $u$  بردار ورودی در سیستم و  $f$  تابعی است که معادلات دینامیکی سیستم را توصیف می کند.

□ از طرف دیگر  $y$  بردار متغیر های خروجی اندازه گیری شده در سیستم،  $h$  تابعی است که رابطه حسگر در اندازه گیری سیستم را توصیف می کند.

✓ اگر سیستم خطی متغیر با زمان باشد رابطه فوق به معادلات حالت خطی زیر ساده می شود

$$\dot{x} = Ax + Bu$$

$$y = Cx + Du$$

□ که در آن  $A, B, C, D$  ماتریس هایی با مقادیر عددی ثابت می باشند که دینامیک خطی سیستم را توصیف می کنند.



# نمایش مدل در سیستم های کنترل

## • نمایش فضای حالت

✓ مثال ۱: معادلات حاکم بر رفتار موتور DC مغناطیس دائم را در نظر بگیرید:

$$L \frac{di}{dt} + Ri + K_v \omega = v(t)$$

$$J \frac{d\omega}{dt} + b\omega + T_L = K_m i$$

□ با در نظر گرفتن متغیرهای حالت:  $x = [i \quad \omega]^T$  از معادله حالت به صورت زیر به دست می آید:

$$\begin{bmatrix} \dot{i} \\ \dot{\omega} \end{bmatrix} = \begin{bmatrix} -\frac{R}{L} & -\frac{K_v}{L} \\ \frac{K_m}{J} & -\frac{b}{J} \end{bmatrix} \begin{bmatrix} i \\ \omega \end{bmatrix} + \begin{bmatrix} 1 & 0 \\ 0 & -1 \end{bmatrix} \begin{bmatrix} v(t) \\ T_L \end{bmatrix}$$

□ با فرض اینکه هدف در این سیستم، کنترل سرعت موتور باشد آنگاه  $y = [0 \quad 1] \begin{bmatrix} i \\ \omega \end{bmatrix}$

□ در این سیستم:  $x = [i \quad \omega]^T$ ،  $u = [v \quad T_L]^T$  و  $y = \omega$  بوده و ماتریس های سیستم عبارتند از:

$$A = \begin{bmatrix} -R/L & -K_v/L \\ K_m/J & -b/J \end{bmatrix}, \quad B = \begin{bmatrix} 1 & 0 \\ 0 & -1 \end{bmatrix}, \quad C = [0 \quad 1], \quad D = 0$$



مل دستی

# نمایش مدل در سیستم های کنترل

## • نمایش فضای حالت

✓ ماتریس تبدیل سیستم های LTI

- در نمایش فضای حالت می توان سیستم های دارای چند ورودی و چند خروجی MIMO را نمایش داد.
- اگر از چنین سیستمی تبدیل لاپلاس بگیریم، با شرط مقادیر اولیه صفر به نمایش ماتریس تبدیل سیستم خواهیم رسید:

$$\begin{aligned}\dot{x} &= Ax + Bu \rightarrow sx(s) = Ax(s) + Bu(s) \rightarrow x(s) = (sI - A)^{-1}Bu(s) \\ y &= Cx + Du \rightarrow y(s) = Cx(s) + Du(s) \rightarrow y(s) = [C(sI - A)^{-1}B + D]u(s)\end{aligned}$$

□ بدین ترتیب ماتریس تبدیل سیستم از این رابطه به دست می آید:

$$H(s) = \frac{y(s)}{u(s)} = [C(sI - A)^{-1}B + D]$$

با توجه به ابعاد ورودی  $r \times 1$  و خروجی  $m \times 1$  ماتریس تبدیل یک ماتریس  $m \times r$  خواهد بود:  $y_{m \times 1} = H_{m \times r}(s)u_{r \times 1}$



# نمایش مدل در سیستم های کنترل



مدل کامپیوتری

## نمایش سیستم و ساده سازی اتصال سیستم ها توسط کامپیوتر

✓ در نرم افزار Matlab برای نمایش سیستم به فرم های مختلف از دستورات زیر می توان استفاده نمود

```
% Different ways to represent a system:
%
%          4
%      P(s) = -----
%          (s - 1)(s - 2)
clc
%      Tf format
num=4; den=[1 -3 2]; plant1=tf(num,den)

%          4
%      plant1 = -----
%          s^2 - 3 s + 2
%      ZPK format
k=4;z=[]; p=[1 2]; plant2=zpk(z,p,k)

%          4
%      -----
%      (s-1)(s-2)
%      converting to state space
[Ap,Bp,Cp,Dp]=tf2ss(num,den)
Ap =          Bp =          Cp =          Dp =
    3    -2         1         0         4         0
    1     0         0
```



# نمایش مدل در سیستم های کنترل

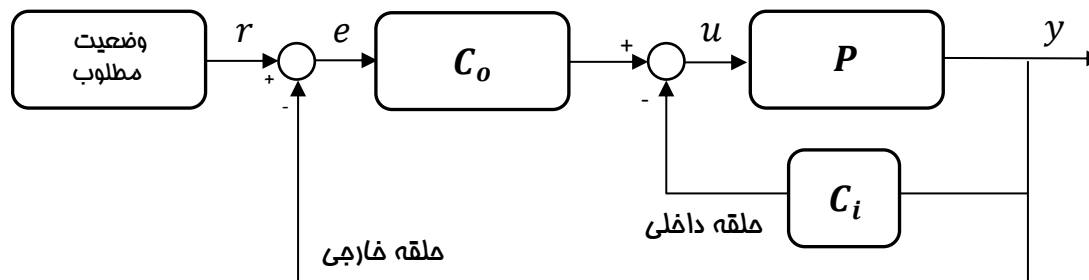


مل کامپیوتری

## • نمایش سیستم و ساده سازی اتصال سیستم ها توسط کامپیوتر

✓ در نرم افزار Matlab برای ساده سازی سیستم می توان از دستور sysic استفاده کرد

□ سیستم آشناری زیر را در نظر بگیرید:



که در آن

$$P(s) = \frac{4}{(s-1)(s-2)}, \quad C_i(s) = \frac{s+1}{(s+2)^2}, \quad C_o(s) = \frac{1}{s^2+s+1}$$

# نمایش مدل در سیستم های کنترل



مل کامپیوتری

## • نمایش سیستم و ساده سازی اتصال سیستم ها توسط کامپیوتر

✓ در نرم افزار Matlab برای ساده سازی سیستم می توان از دستور sysic استفاده کرد:

```
%%
% The smart way to define and simplify the block diagrams and SFG
%
clear all
s=zpk('s'); % zero-pole format
P=1/((s-1)*(s-2)) % plant
Co=(s+1)/(s+2)^2; % outer loop controller
Ci=1/s^2+s+1; % inner loop controller

% construct the interconnection structure, plant_ic;

systemnames = 'P Co Ci';
inputvar = '[r]';
outputvar = '[P]';
input_to_P = '[ Co - Ci ]';
input_to_Co = '[ r - P ]';
input_to_Ci = '[P]';
sysoutname = 'plant_ic';
cleanup_sysic = 'yes';
sysic

% We can change the properties of the generated plant using
% get and set commands or as following.

plant_ic.InputName='r'; % Set the input names
plant_ic.OutputName='y'; % Set the output names

%% We can make sure that our augmented system has its minimal
% realization to avoid un-controllability for some hidden modes
% Check zero-poles patterns and use minreal
plant_ic = minreal(plant_ic)
plant_ic =
    From input "r" to output "y":
                s^2 (s+1)
    -----
(s+1.727) (s+2.316) (s^2 + 0.1909s + 0.2948) (s^2 - 2.234s + 3.393)
Continuous-time zero/pole/gain model.
```



## Samuel Jefferson Mason (1921–1974)

was an American **electronics engineer**. **Mason's invariant** and **Mason's rule** are named after him. He was born in New York City, but he grew up in a small town in New Jersey. He received a B.S. in electrical engineering from **Rutgers University** in 1942, and after graduation, he joined the Antenna Group of **MIT Radiation Laboratory** as a staff member. Mason went on to earn his S.M. and Ph.D. in electrical engineering from **MIT** in 1947 and 1952, respectively. After World War II, the Radiation Laboratory was renamed the MIT Research Laboratory of Electronics, where he became the associate director in 1967. Mason served on the faculty of MIT from 1949 until his death in 1974 – as an assistant professor in 1949, associate professor in 1954, and full professor in 1959. Mason unexpectedly died in 1974 due to a **cerebral hemorrhage**.

Mason's doctoral dissertation, supervised by **Ernst Guillemin**, was on **signal-flow graphs** and he is often credited with inventing them. Another one of his contributions to the field of control systems theory was a method to find the transfer function of a system, now known as **Mason's rule**. Mason was an expert in optical scanning systems for printed materials. He was the leader of the Cognitive Information Processing Group of the MIT Research Laboratory of Electronics, and he created systems that scanned printed materials and read them out loud for the blind. Similarly, he developed tactile devices powered by **photocells** that enabled the blind to sense light.

برگرفته از [پیوند](#)

## بیوگرافی دکتر حمید رضا تقی راد

**حمید رضا تقی راد** مدرک کارشناسی خود را در مهندسی مکانیک از دانشگاه صنعتی شریف در سال ۱۳۶۸ و کارشناسی ارشد خود را در مهندسی مکانیک (مکاترونیک) در سال ۱۳۷۲ و دکترای خود را در مهندسی برق - کنترل و رباتیک در سال ۱۳۷۶ از دانشگاه مک گیل کانادا دریافت کرده است. او در حال حاضر استاد تمام و مدیر گروه رباتیک ارس در دپارتمان کنترل و سیستم، دانشکده مهندسی برق، دانشگاه صنعتی خواجه نصیرالدین طوسی است. ایشان دارای عضویت ارشد انجمن IEEE، دستیار سردبیر مجلات زیر هستند.

IEEE Transactions on Medical Robotics and Bionics,  
Frontiers in Robotics: AI - Biomedical Robotics,  
International Journal of Robotics: Theory and Application.

زمینه های تحقیقاتی مورد علاقه وی کاربرد کنترل مقاوم و غیرخطی بر روی سیستم های رباتیک بوده و زمینه های مختلف رباتیک شامل ربات های موازی و کابلی، ربات های خودران، ربات های جراحی و سامانه های هپتیک آموزش جراحی چشم در حیطه تخصص ایشان قرار دارد. تحقیقات اخیر ایشان بیشتر معطوف بر ربات های پزشکی بوده و تالیفات ایشان شامل پنج کتاب فارسی و دو کتاب انگلیسی و بیش از ۳۰۰ مقاله در کنفرانس ها و مجلات معتبر بین المللی است.



**حمید رضا تقی راد**  
استاد



گروه رباتیک ارس

## سیستم های کنترل فطی

برای مطالعه بیشتر و مشاهده فیلم های ضبط شده کلاس مجازی  
به [این سایت](#) مراجعه نمایید



# متشکرم